

Установка Тунка: от космических лучей к гамма-астрономии

Л.А.Кузьмичев (НИИЯФ МГУ)
От коллаборции Тунка и TAIGA

Дубна, 13 августа 2014

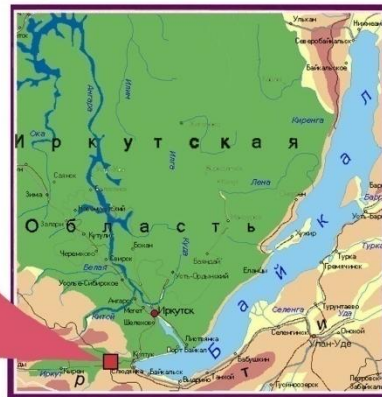
План доклада

- 1. Статус установки Тунка-133 и главные результаты
- 2. Планы по модернизации установки
- 3. Гамма-астрономия высоких энергий в Тункинской долине

Tunka-133 array: 175 optical detectors on 3 km² area



51° 48' 35" N
103° 04' 02" E
675 m a.s.l.



Some important steps towards Tunka-133

1. 2002: G.Navarra suggested to ask for PMTs from MACRO for the new array.
2. 30.12 2003: 200 PMT in Moscow.
3. 2004 : Starting R&D - financial support from DFG- RFBR.
4. 2005: Optical cable (~ 10km) from the closed project EAS1000.
5. 2006 : Starting of financial support of the project from Ministry of Education and Science. Project budget ~ 100 -150 KEU per year

Gianni("Ramon") Navarra
12/9/1945 - 24/8/2009



Karlsruhe, March 2009

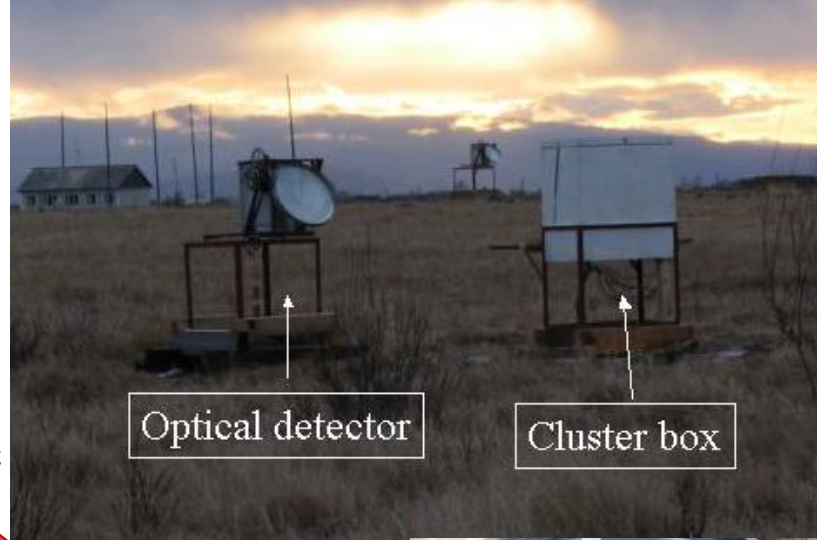
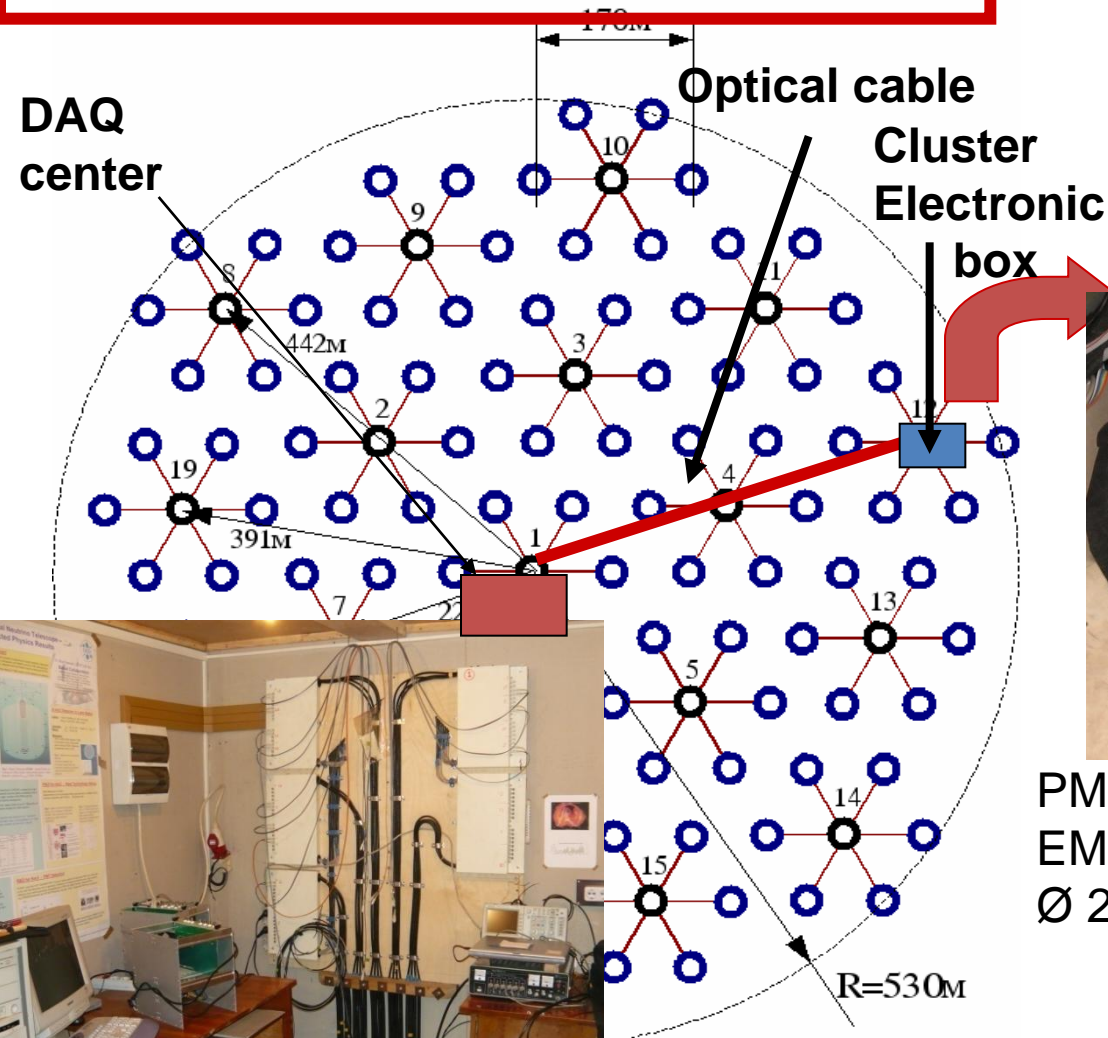


Moscow, October 2005

Tunka Inauguration (September 2009)

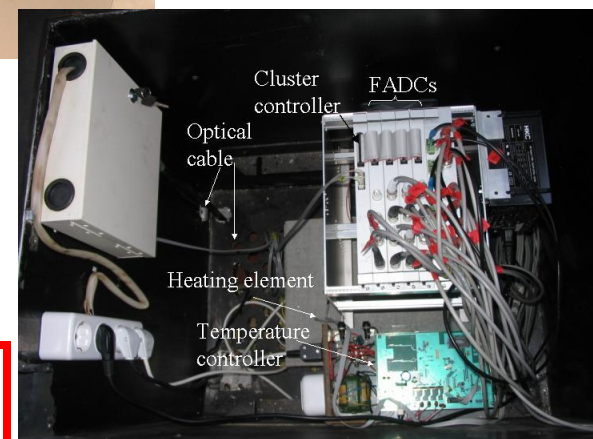


Tunka-133: 19 clusters,
7 detectors in each cluster



PMT
EMI 9350
 $\text{Ø} 20\text{ cm}$

4 channel FADC boards
200 MHz, 12 bit



Physics goals

- 1. Cosmic Rays in the energy range of 10^{16} - 10^{18} eV:
Transition from Galactic CR to extragalactic.
Main results: all particle energy spectrum
and mass composition**
- 2. Search for gamma-rays with energies of
 $5 \cdot 10^{16}$ - $5 \cdot 10^{17}$ eV**

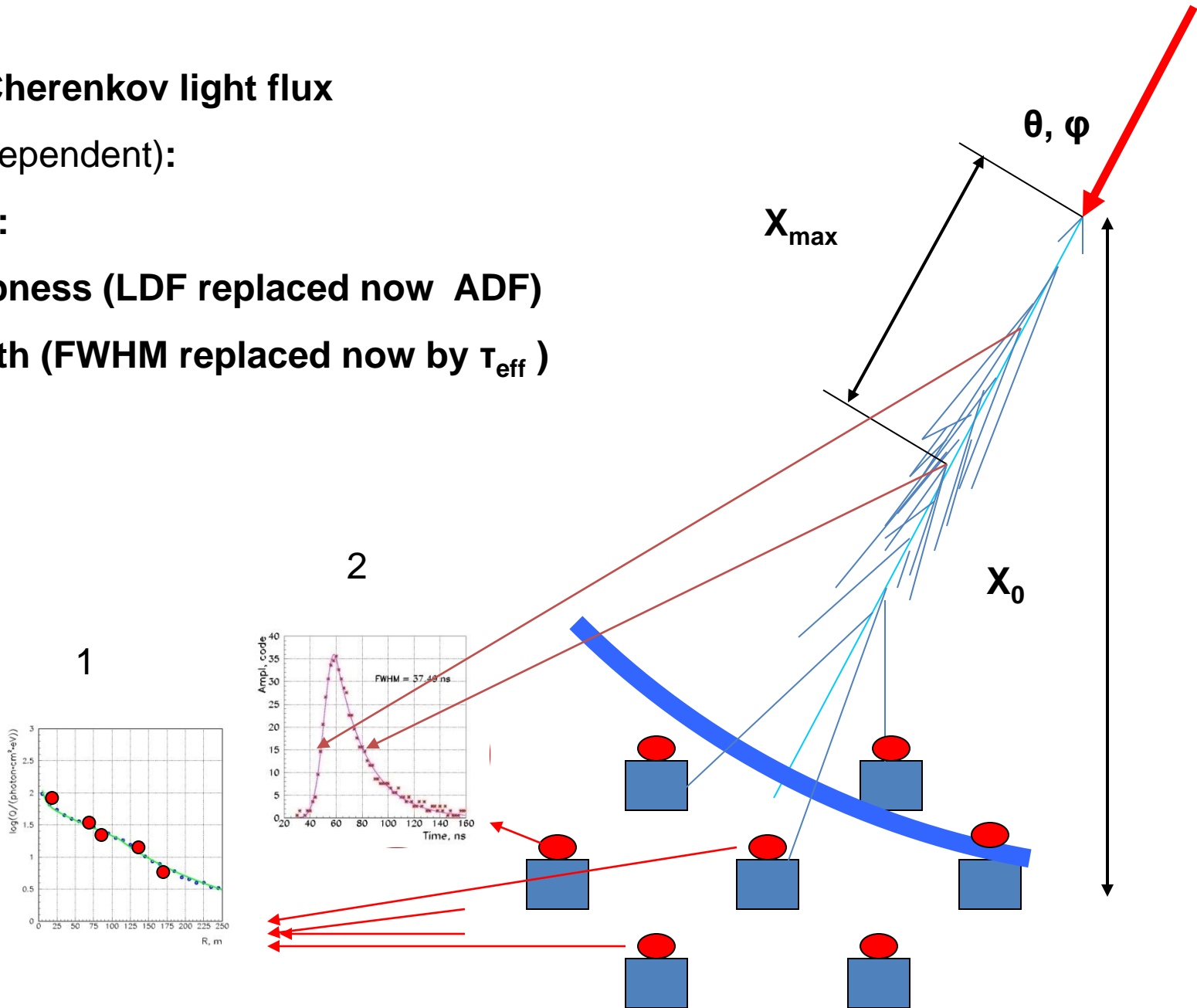
Primary nucleus $E_0, A?$

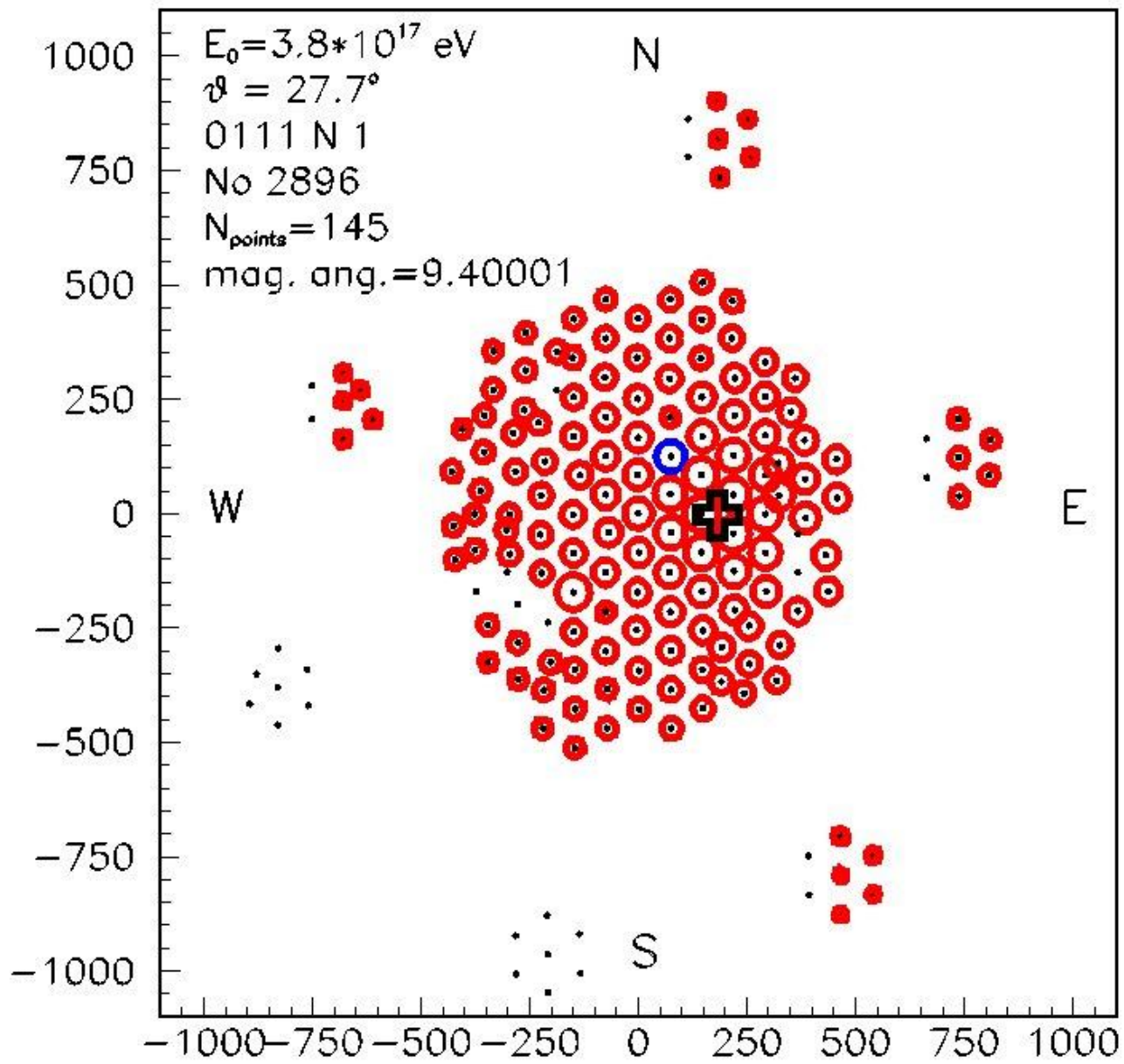
$E_0 \sim Q(200)$ Cherenkov light flux

X_{\max} (model independent):

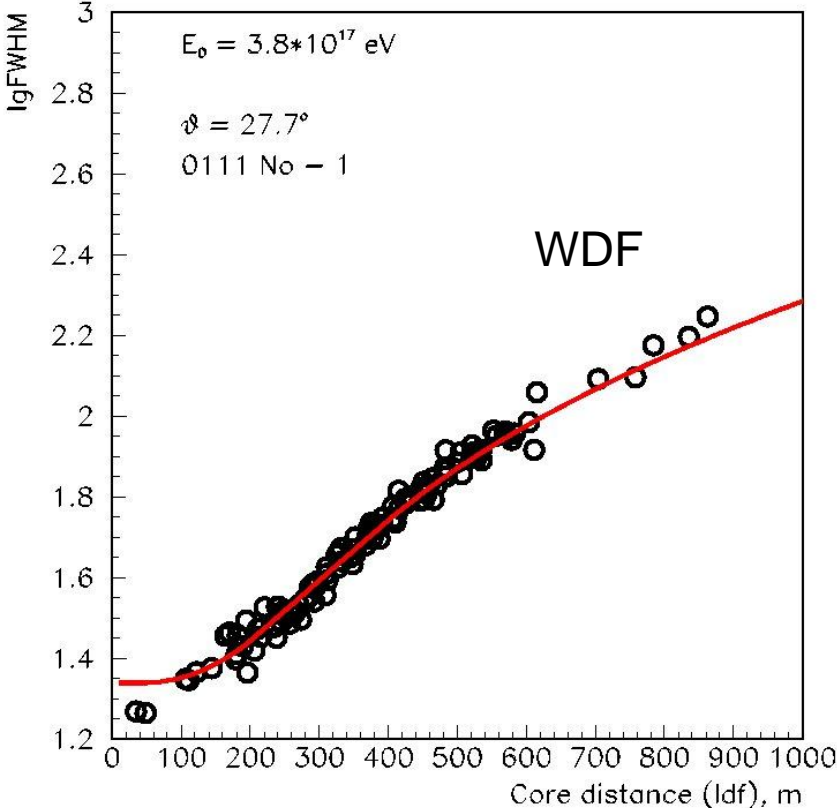
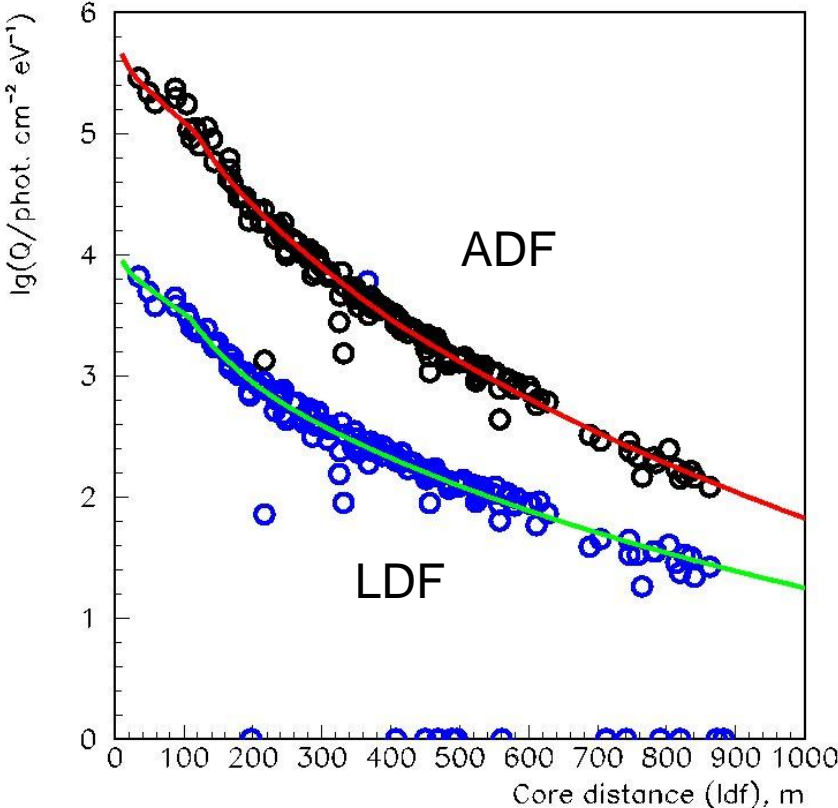
Two methods:

1. ADF steepness (LDF replaced now ADF)
2. Pulse width (FWHM replaced now by τ_{eff})



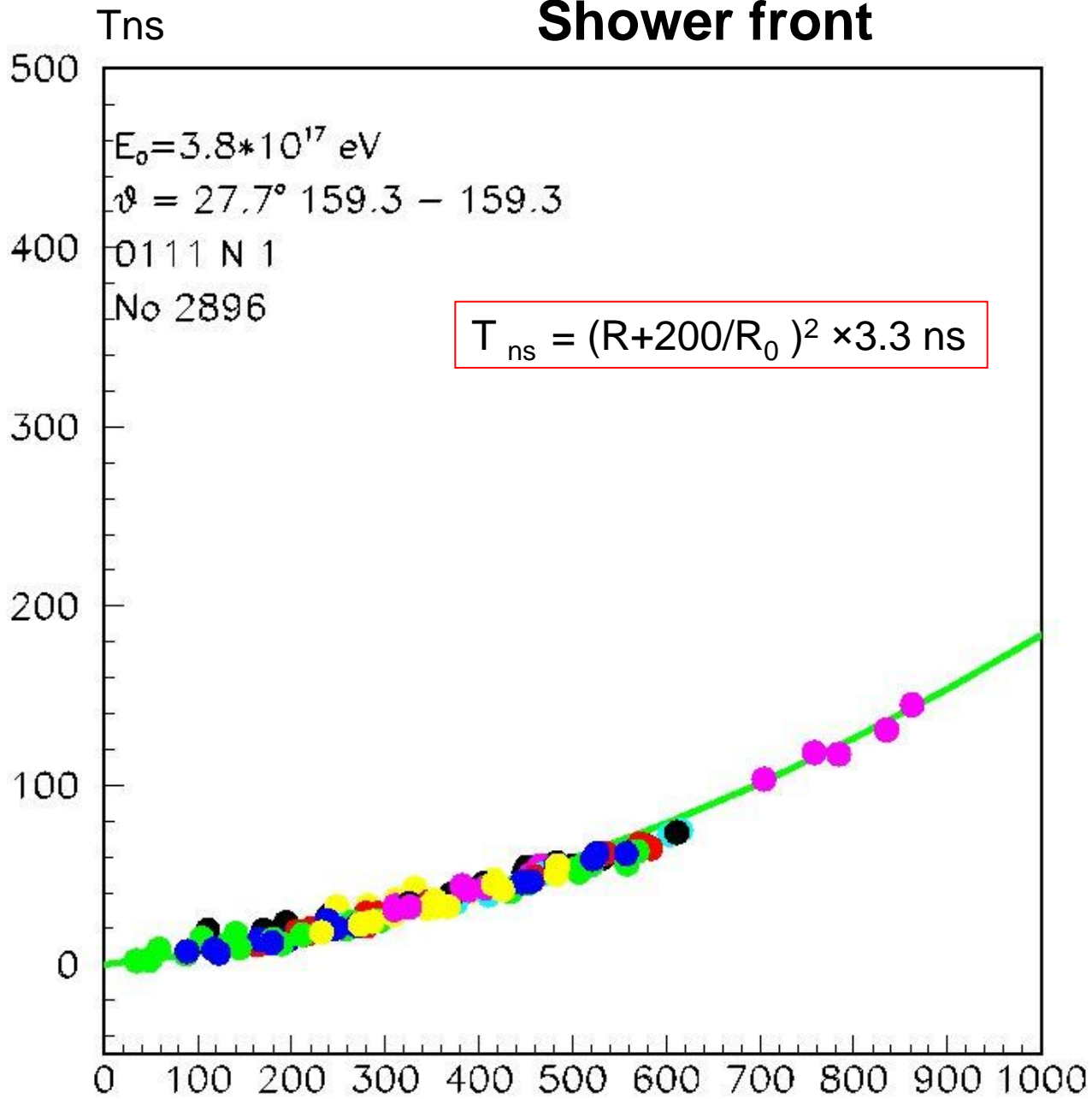


WDF – width distant function



ADF – amplitude distant function is used for core location

Shower front

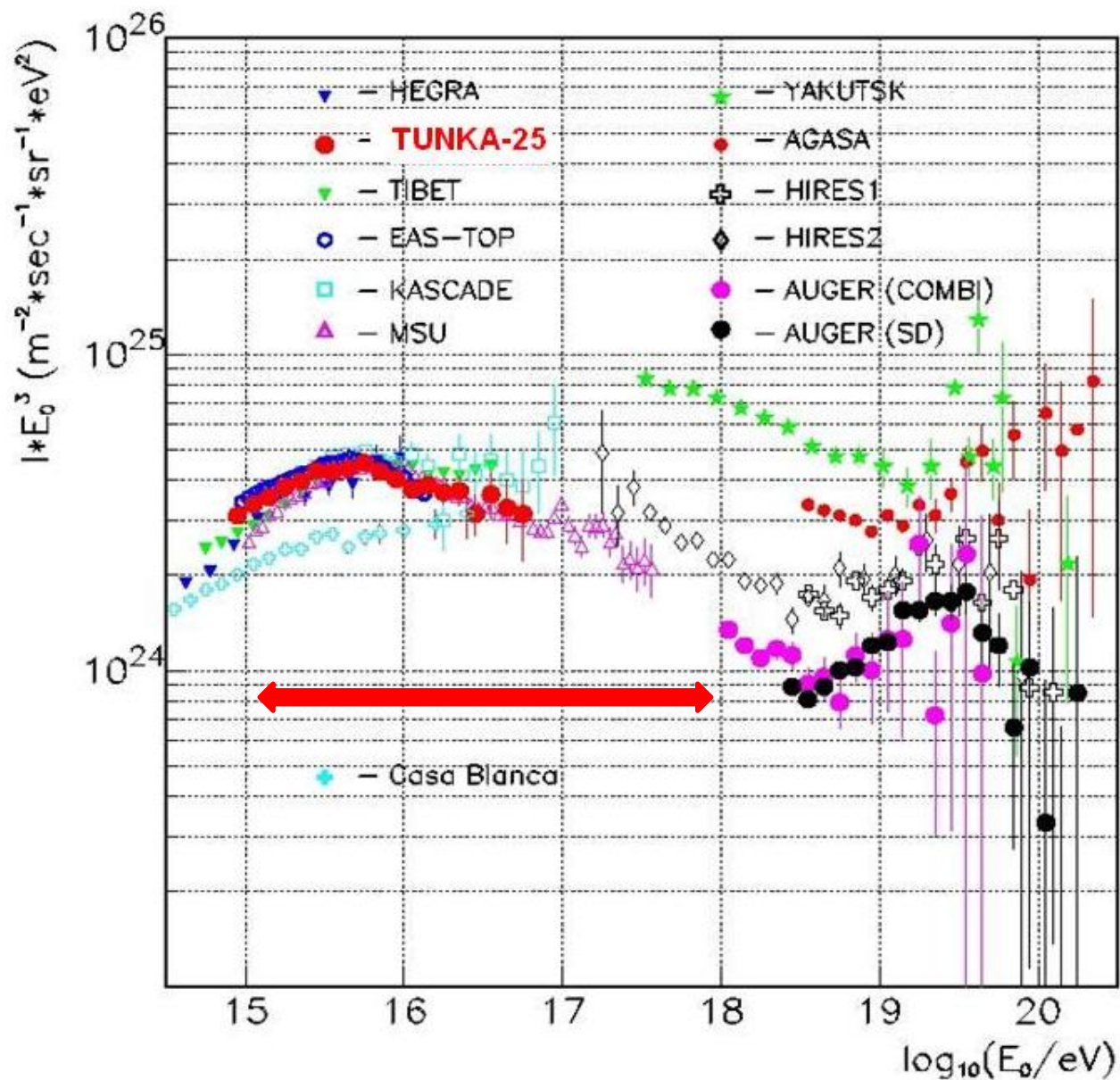


Энергетический спектр

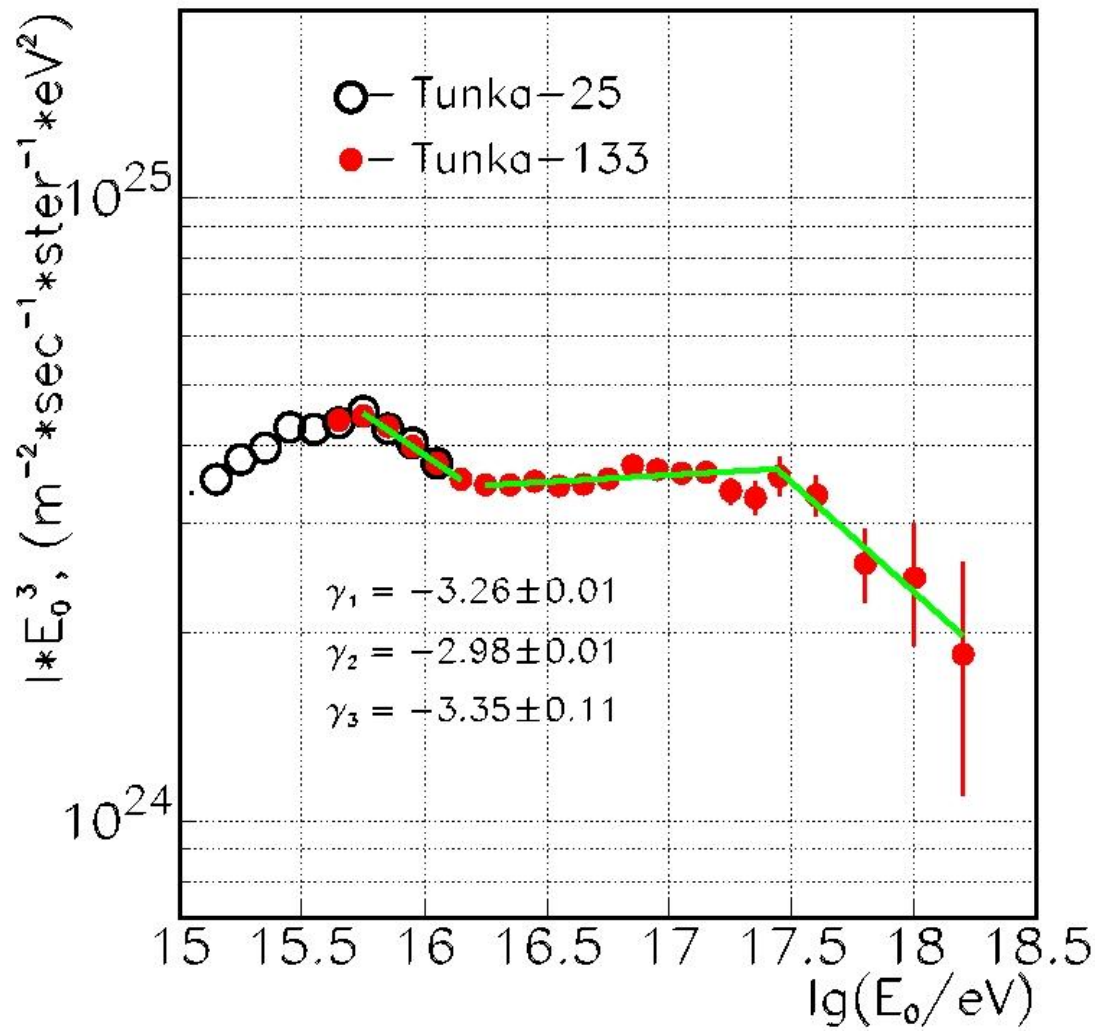
- 262 ясных безлунных ночи
- ~ 1540 часов наблюдений с частотой триггера ~ 2 Гц
- ~ 10 000 000 триггерных событий

- ~ **12400 событий с $E_0 > 5 \cdot 10^{16}$ eV**
- ~ 3000 событий с $E_0 > 10^{17}$ eV

Спектр всех частиц (10 лет назад)



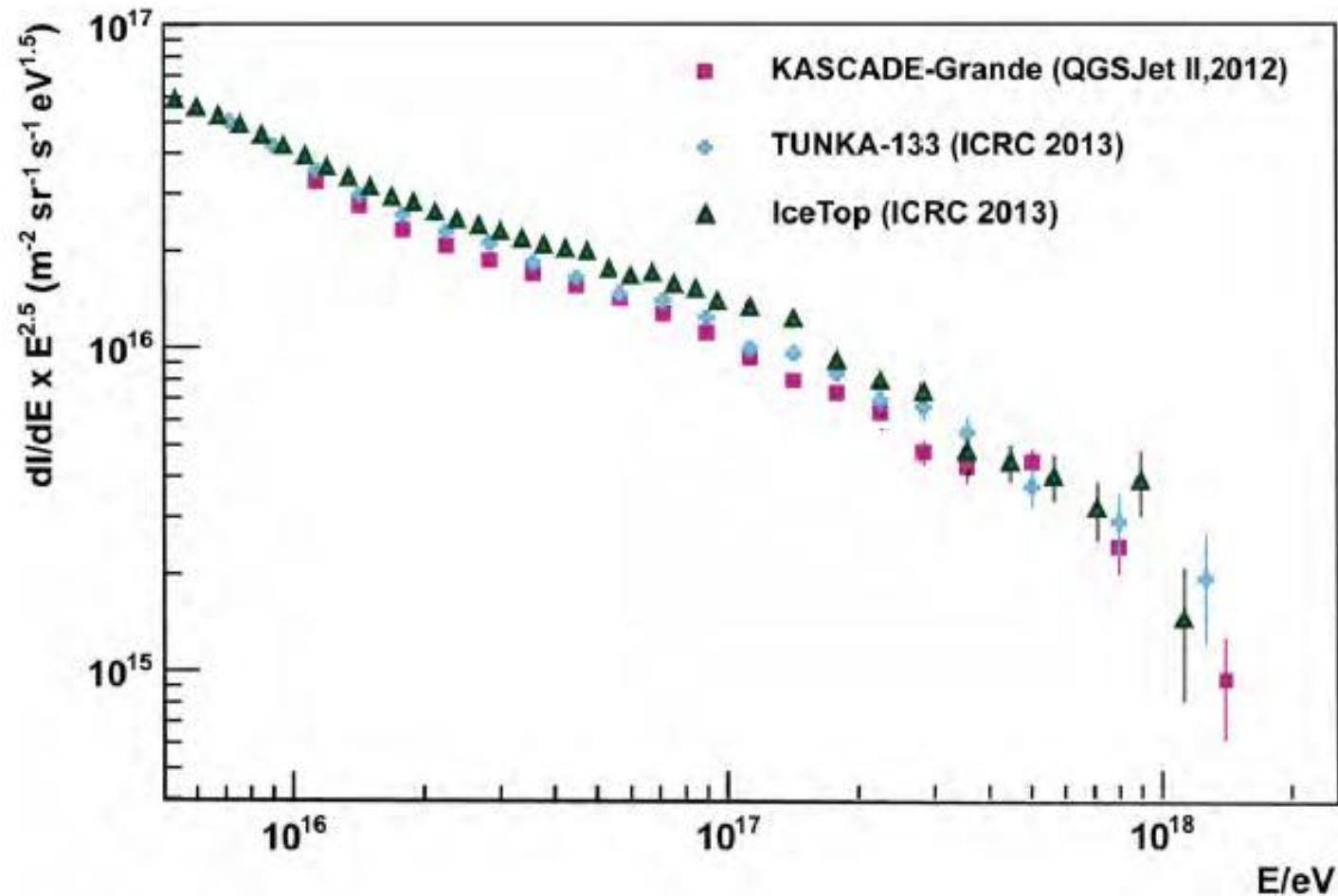
Спектр всех частиц (за 5 сезонов)



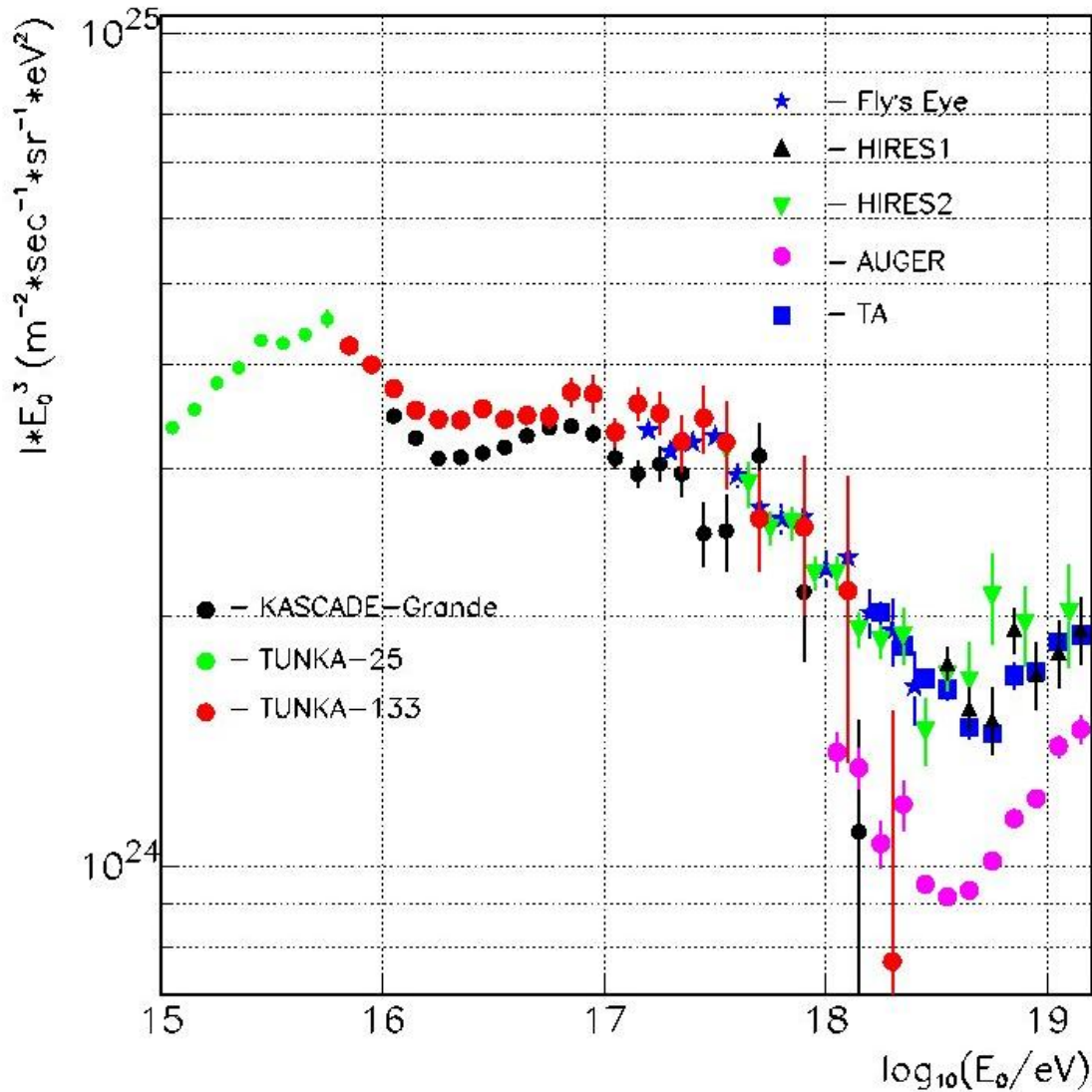
~ 3000 событий $E_0 > 10^{17}$ eV

Доклад В.В.Просина

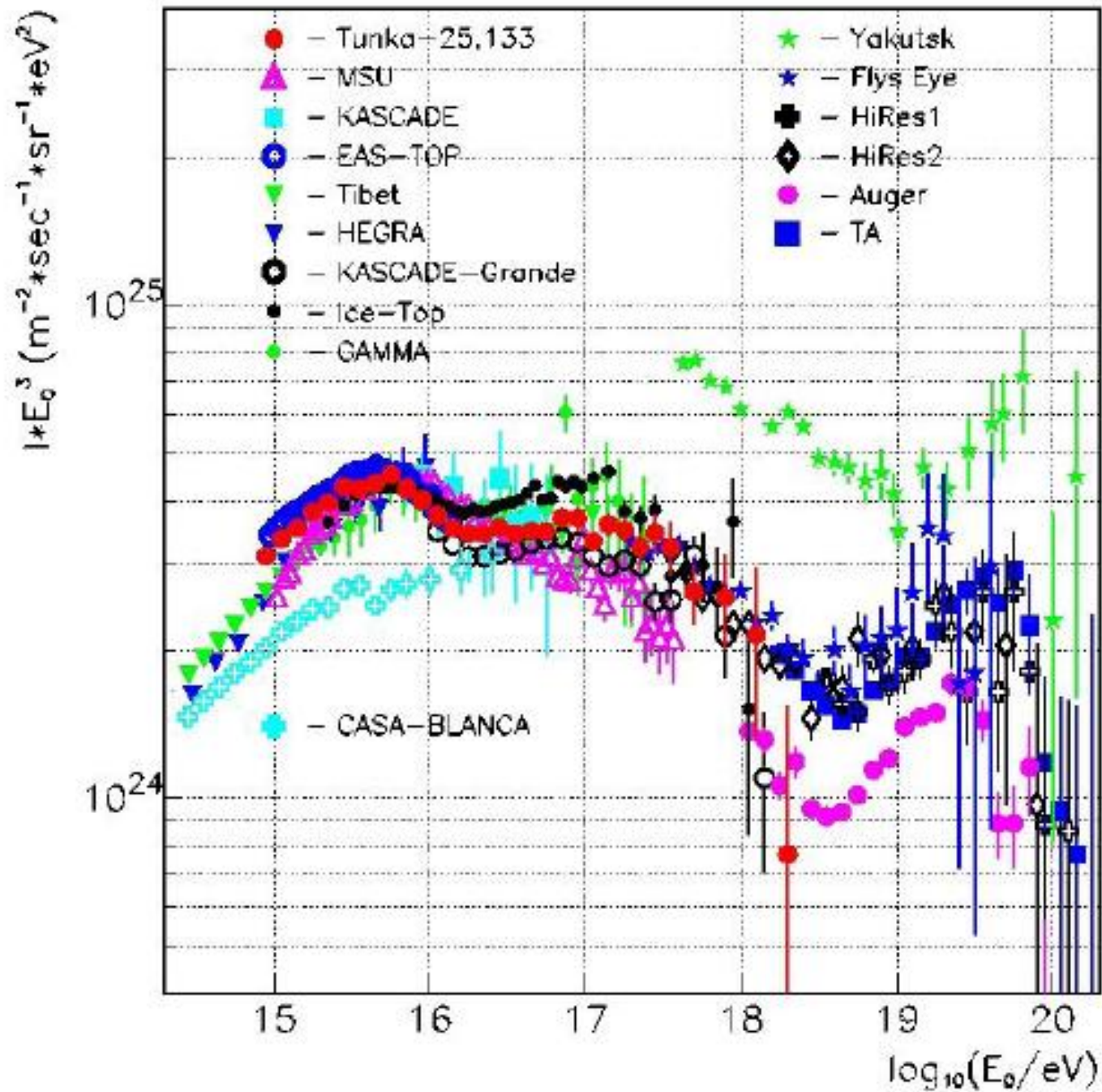
Сравнение данных 3-х установок (А.Хонгс)



Спектр всех частиц



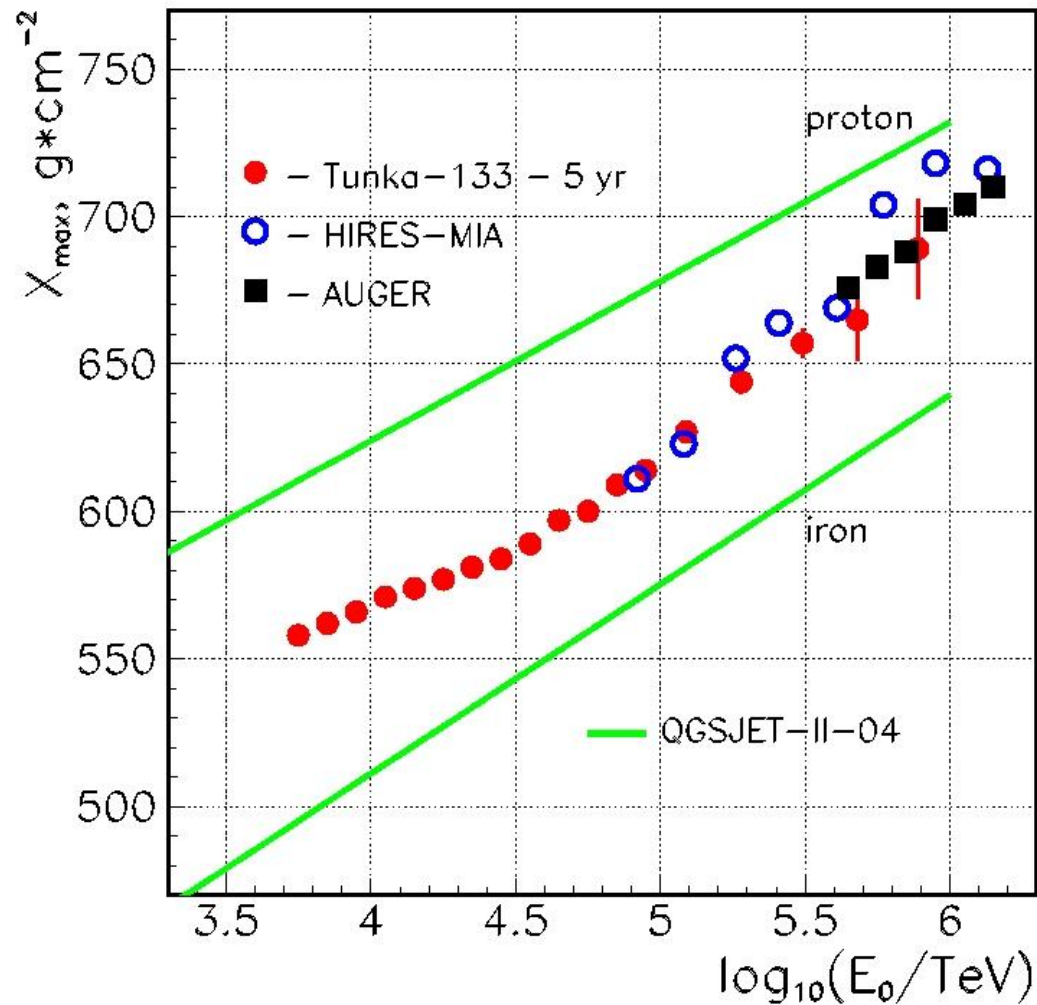
Новый спектр TA до 10^{16} эВ. (доклад Г.Рубцова после обеда)



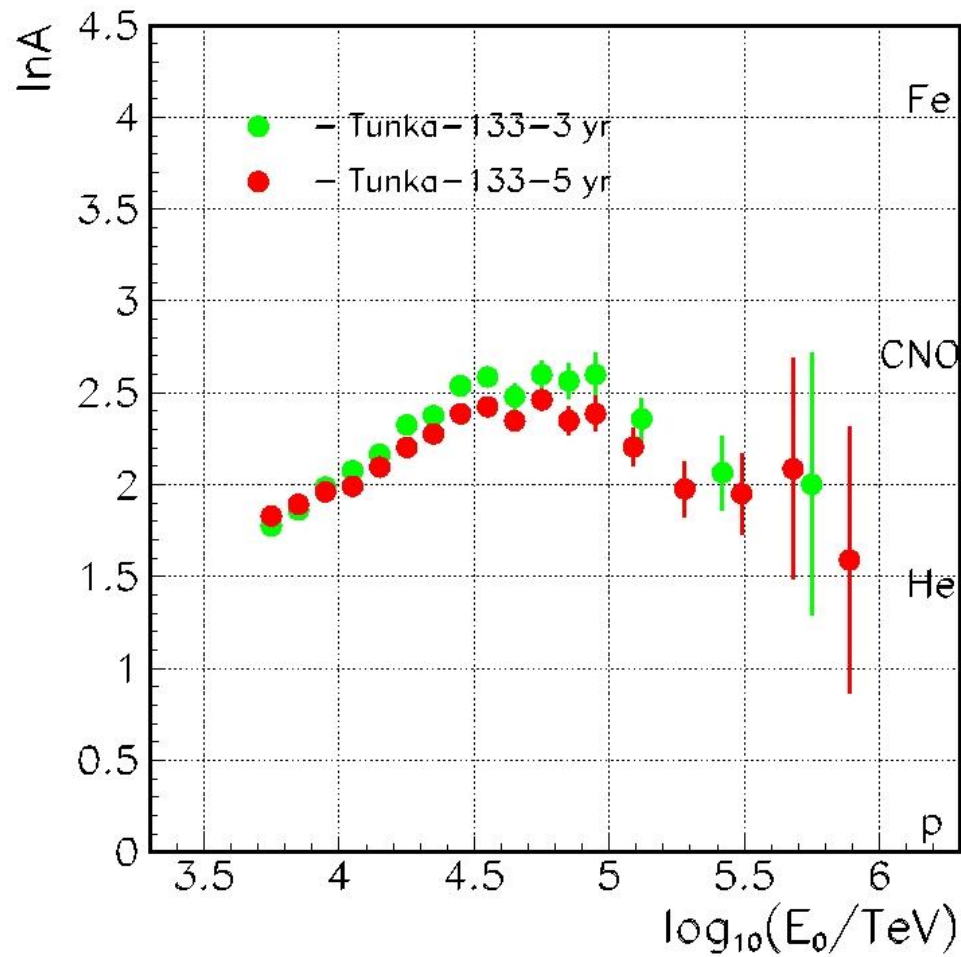
Массовый состав

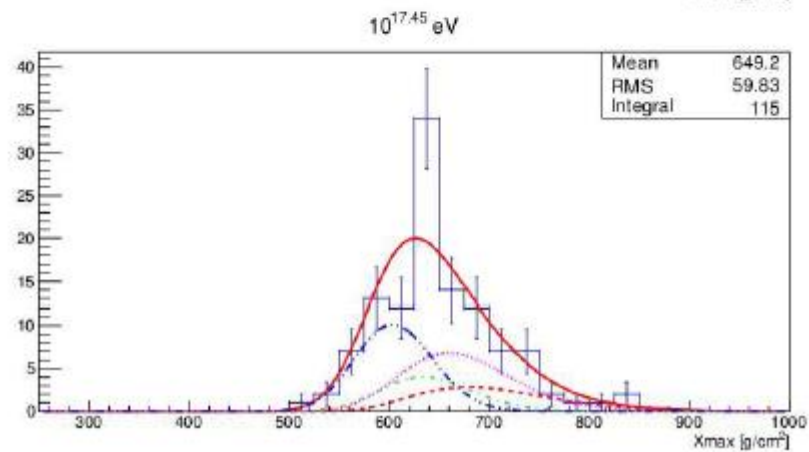
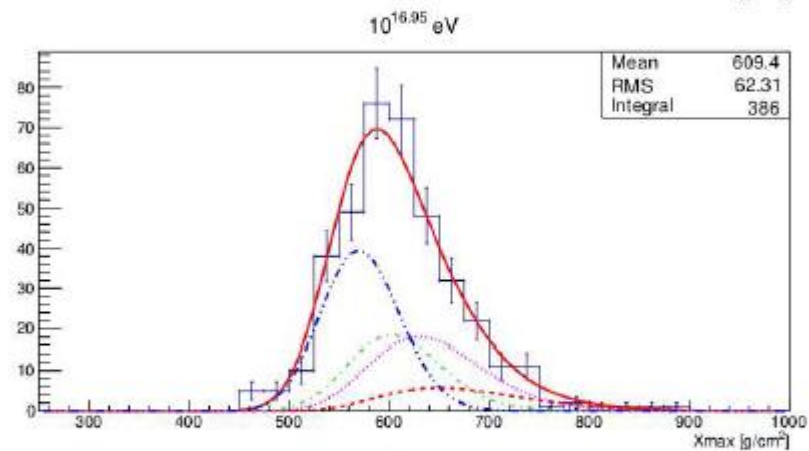
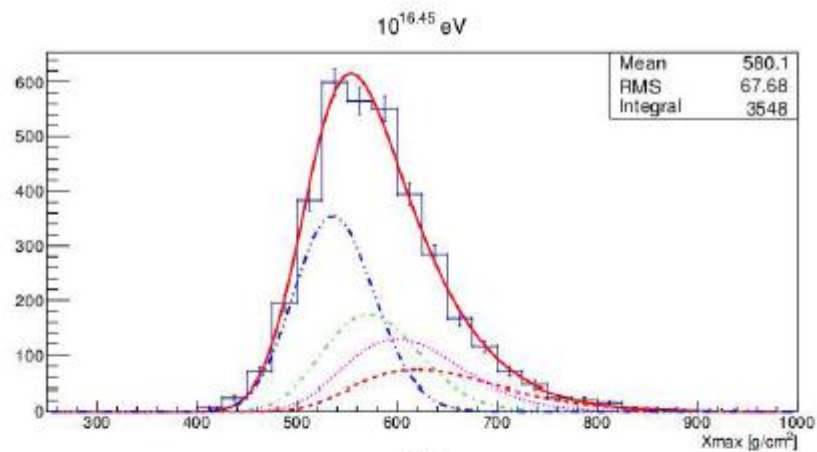
1. Зависимость среднего X_{max} среднего от энергии - зависимость $\ln A$
2. Распределение по X_{max} - спектр отдельных компонент.

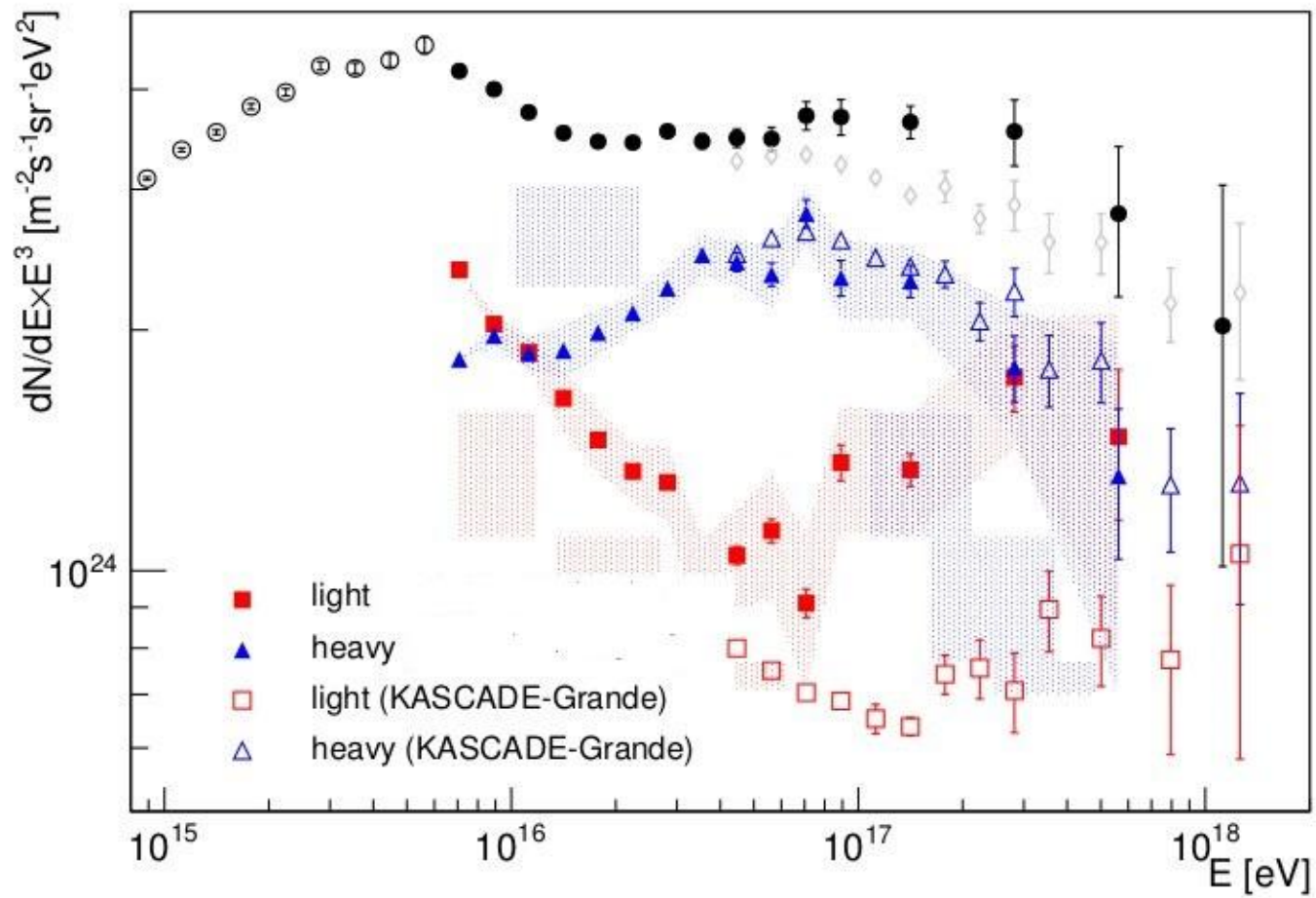
Зависимость X_{\max} от энергии

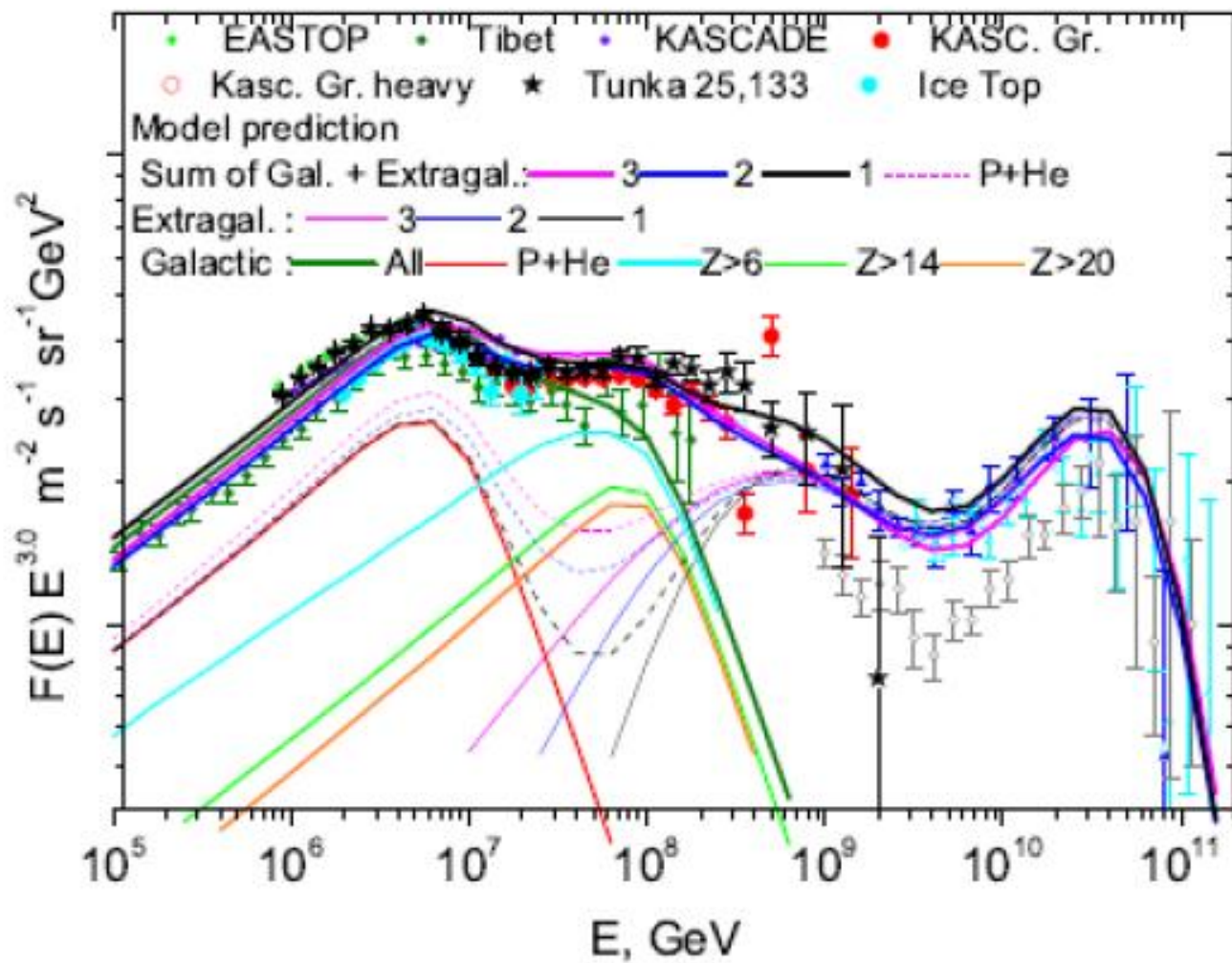


$\langle \ln A \rangle$ vs. E_0









При 1 ПэВ : 17% P, 46 % He, 8% CNO, 16% Fe

Развитие установки:

Регистрация радио излучения от
ШАЛ.

Сцинтилляционные станции

Tunka-REX



**Connection of 2 antennas to
2 free channel of FADC**



Tunka-Rex detector

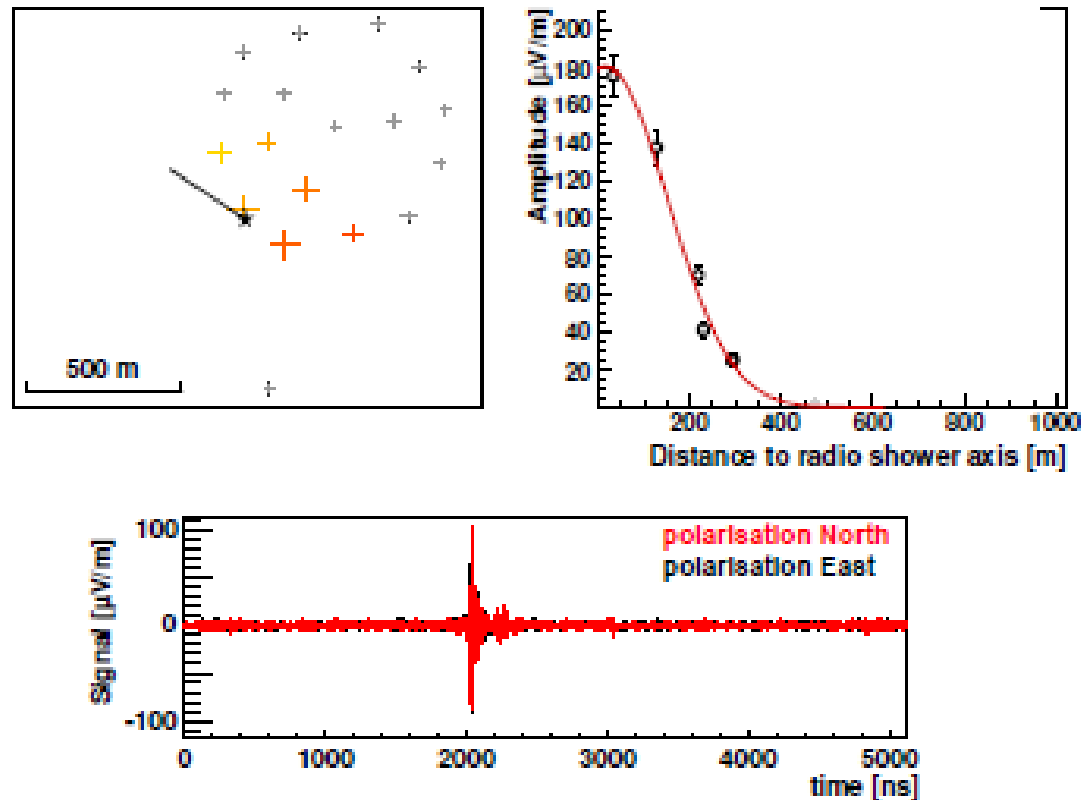
- 25 antennas on 1 km² area
- Existing DAQ of Tunka-133
- Trigger and information from air-Cherenkov detector

- Radio quiet rural location
- Strong geomagnetic field ($\approx 60 \mu\text{T}$)

- Joint operation of radio and air-Cherenkov detectors
- Goal: precision of radio reconstruction for shower parameters (energy and shower maximum)

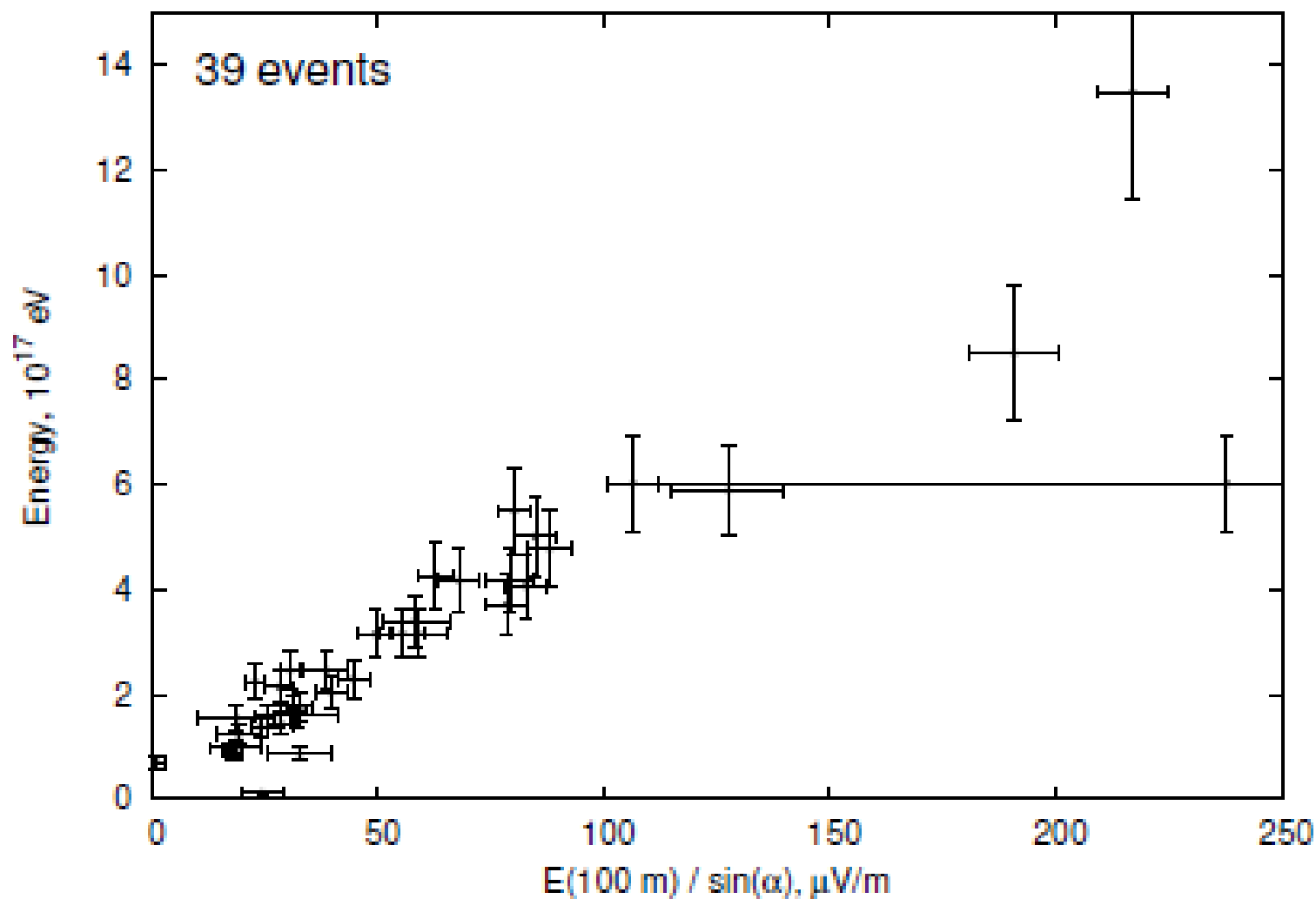
Tunka-Rex example event

For analysis we use the radio part of the Auger Offline software¹



¹Pierre Auger Collaboration, NIM A 635 (2011) 92

Correlation with amplitude ($n = 2$)



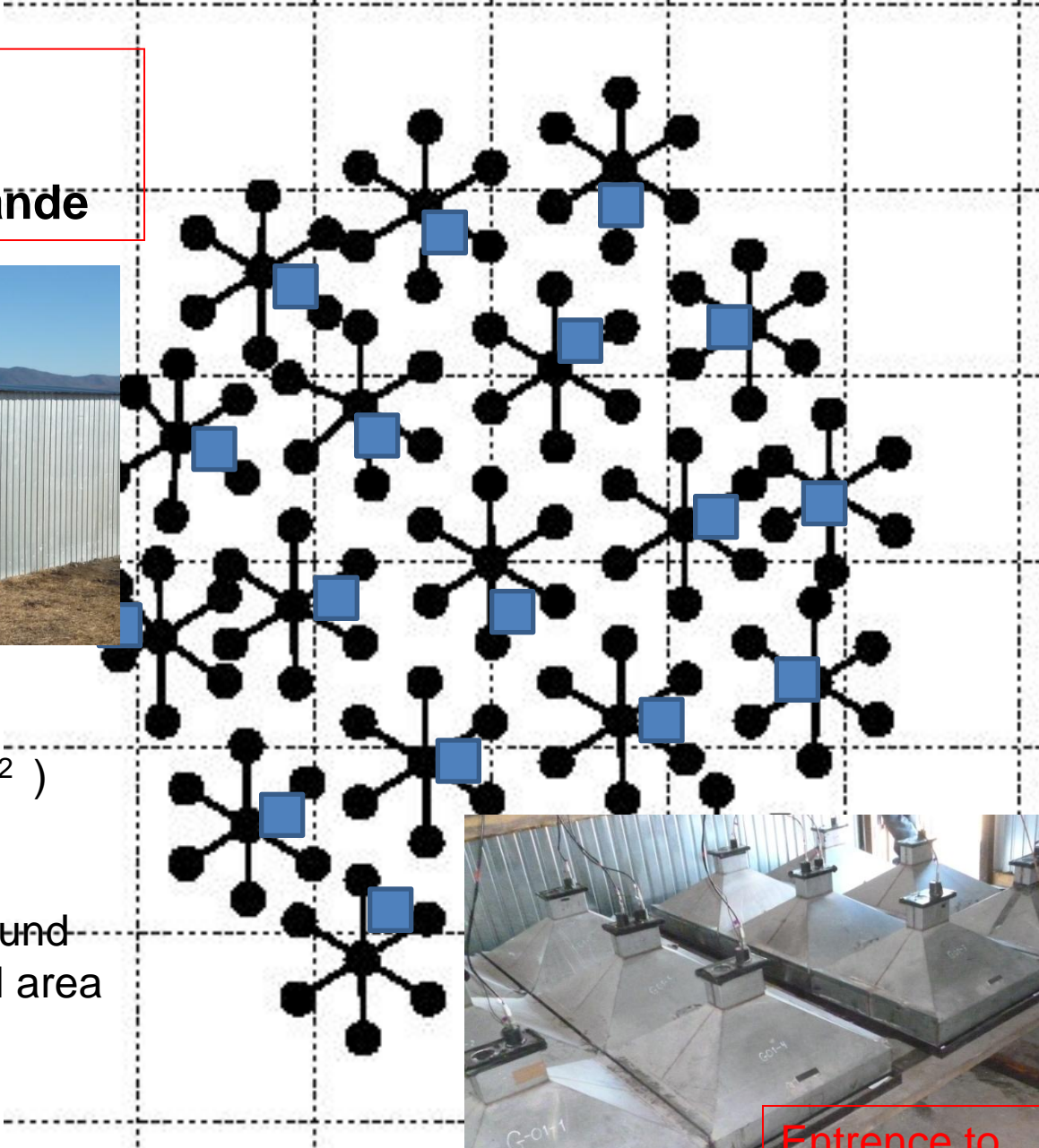
Grande detectors reached Tunka (July 2013)



**Scintillation
station from
Kascade-Grande**



19 stations



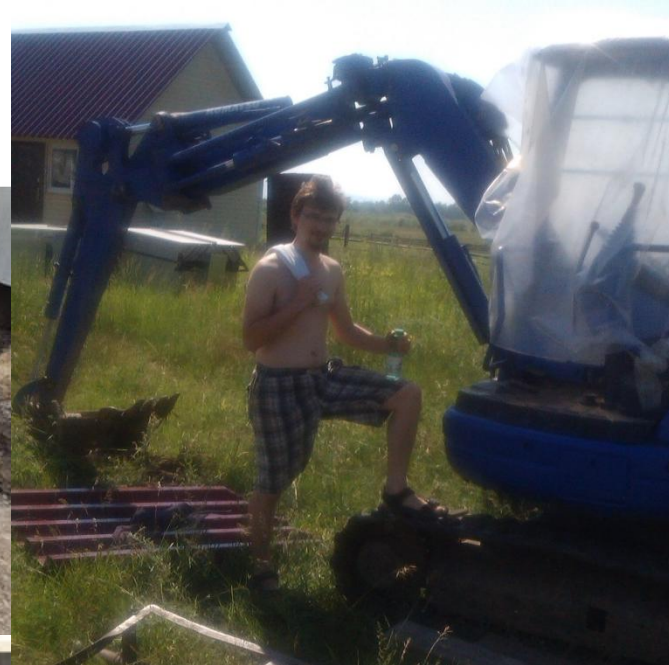
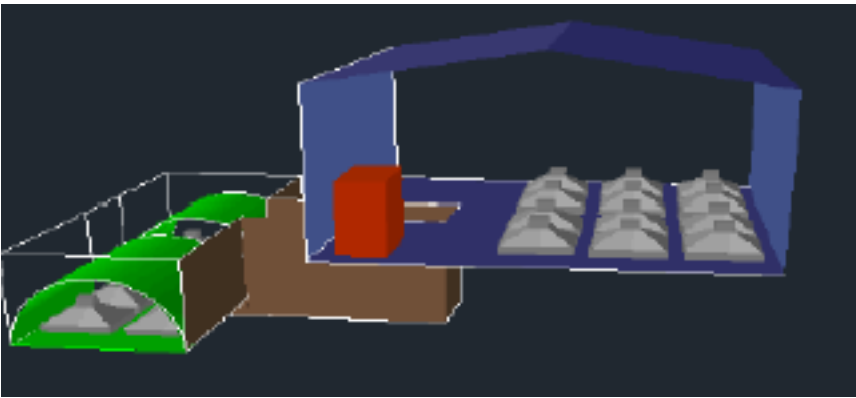
228 detectors (0.64 m^2)
on the surface

152 detectors underground
(muons detectors, total area
 100 m^2)

ID : 3 , ID :107

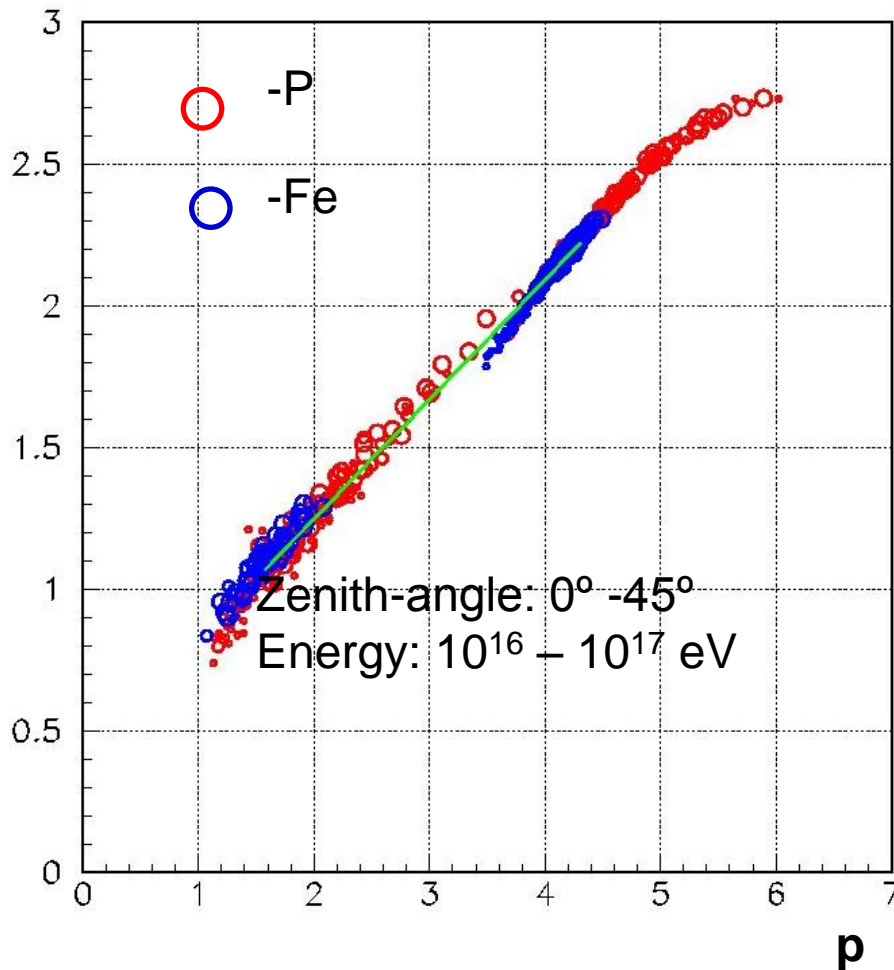


Muon detector

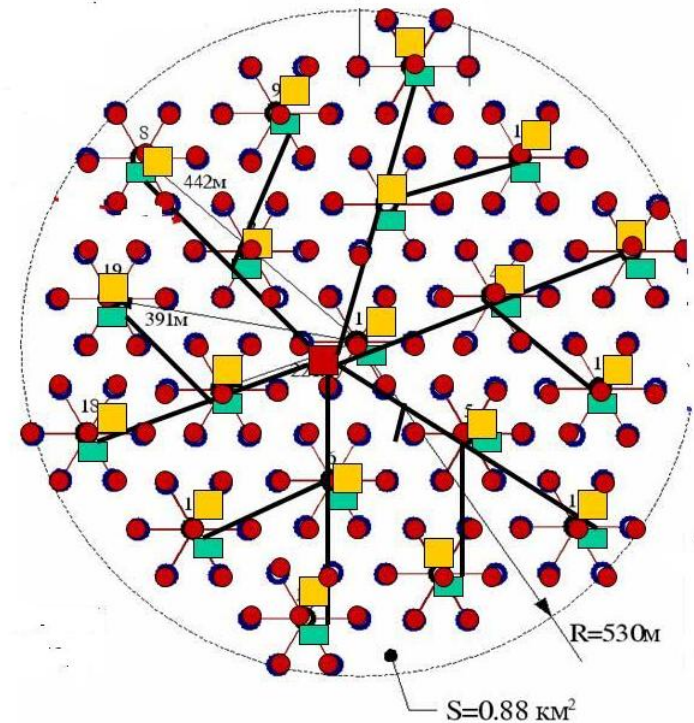


Absolute energy calibration experiment. Repeating the "QUEST" at 10^{16} - 10^{17} eV

Lg (Ne / E, Tev)



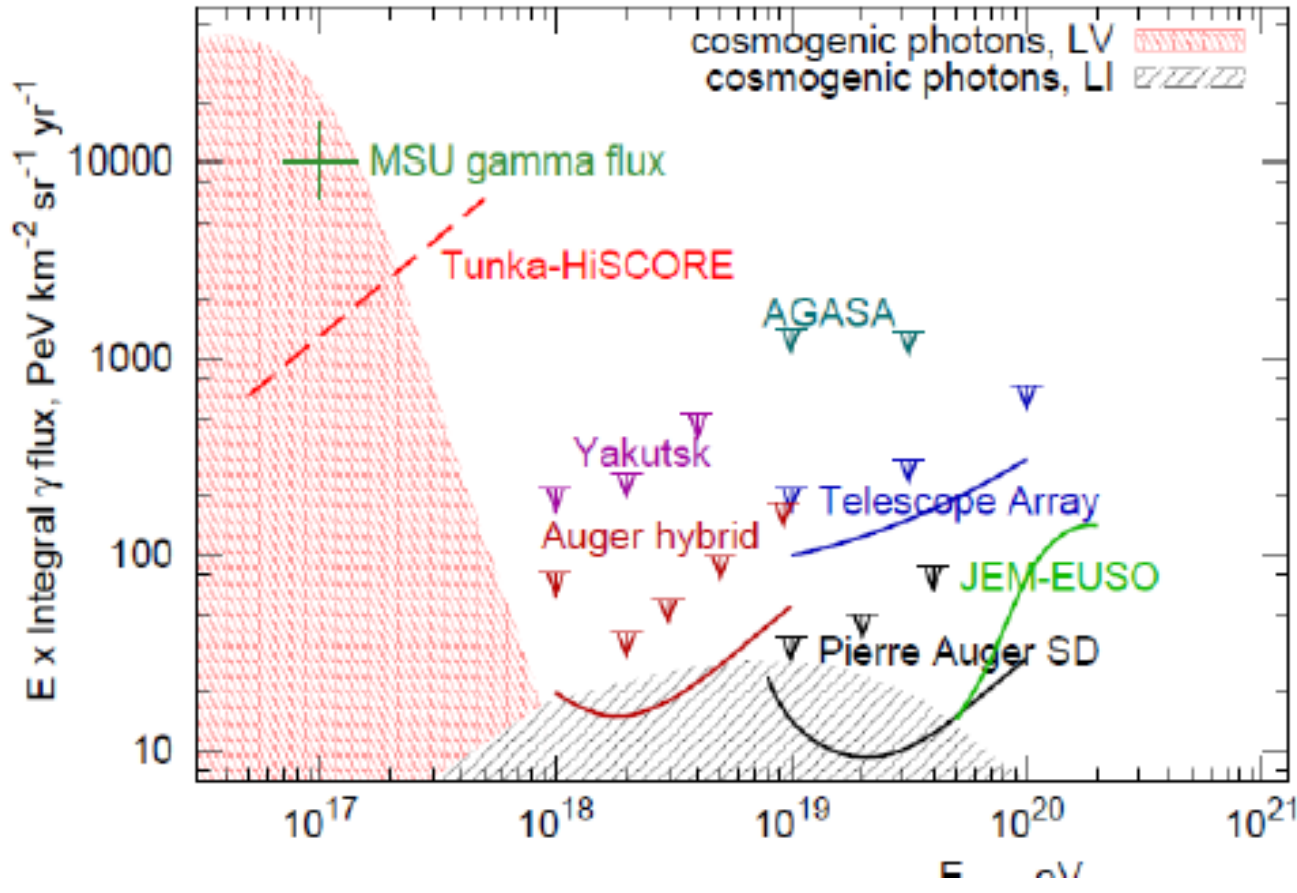
P – steepness of LDF



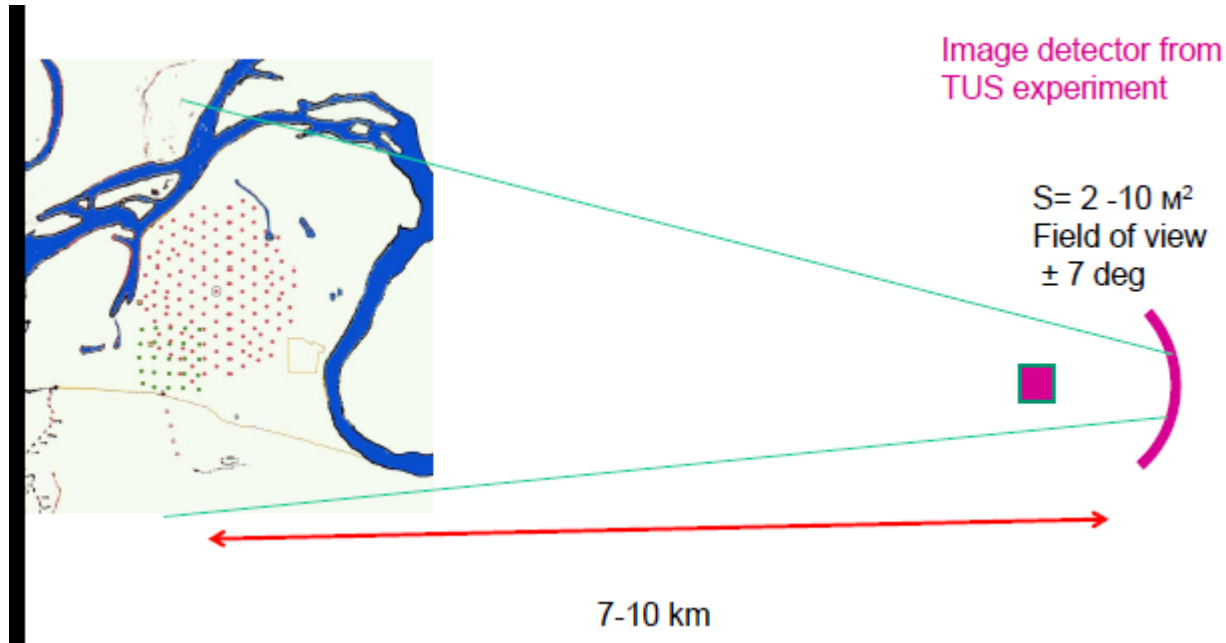
■ -20 scintillation counters, 10 m²

2000 events with $E > 3 \cdot 10^{16}$ eV per season

Search for gamma-rays with energy $5 \cdot 10^{16}$ - $5 \cdot 10^{17}$ eV



Fluorescent detector



The movable support produced in JINR

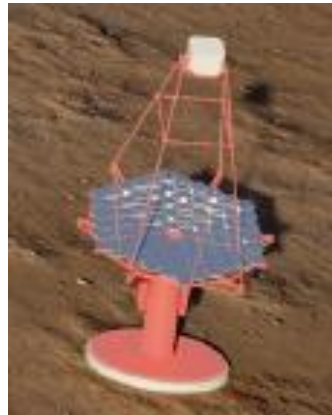
Towards High Energy Gamma-Rays Astronomy array at Tunka Valley

TAIGA – Tunka Advanced Instrument for cosmic rays and Gamma and Astronomy

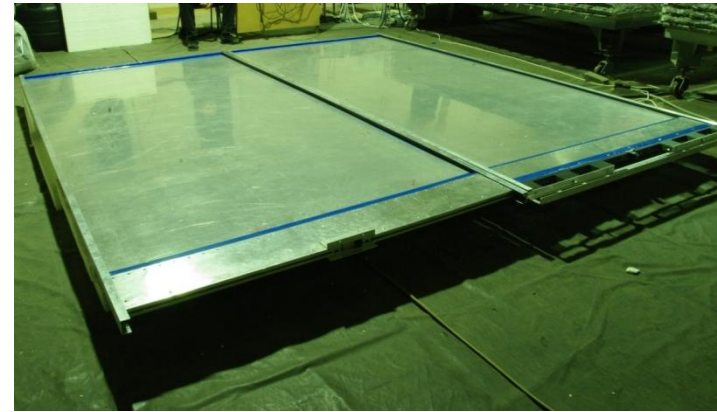
Array design concept



• Non imaging wide-angle optical stations
(HiSCORE type)



• Net of imaging detectors with mirrors
10 m² square.



• Net of muon detectors
10² → 2 10³ m²
area.

TAIGA Collaboratipn

Germany

Hamburg University(Hamburg)

DESY (Zeuthen)

MPI (Munich)

Humbolt University

ITALY

Torino University

Russia

MSU(SINP)(Moscow)

ISU (API) (Irkutsk)

INR RAS(Moscow)

JINR (Dubna)

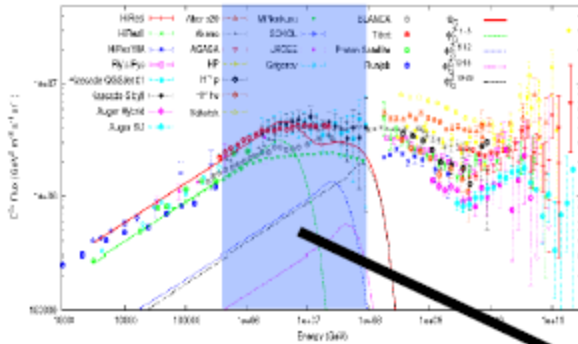
MEPHI(Moscow)

IZMIRAN

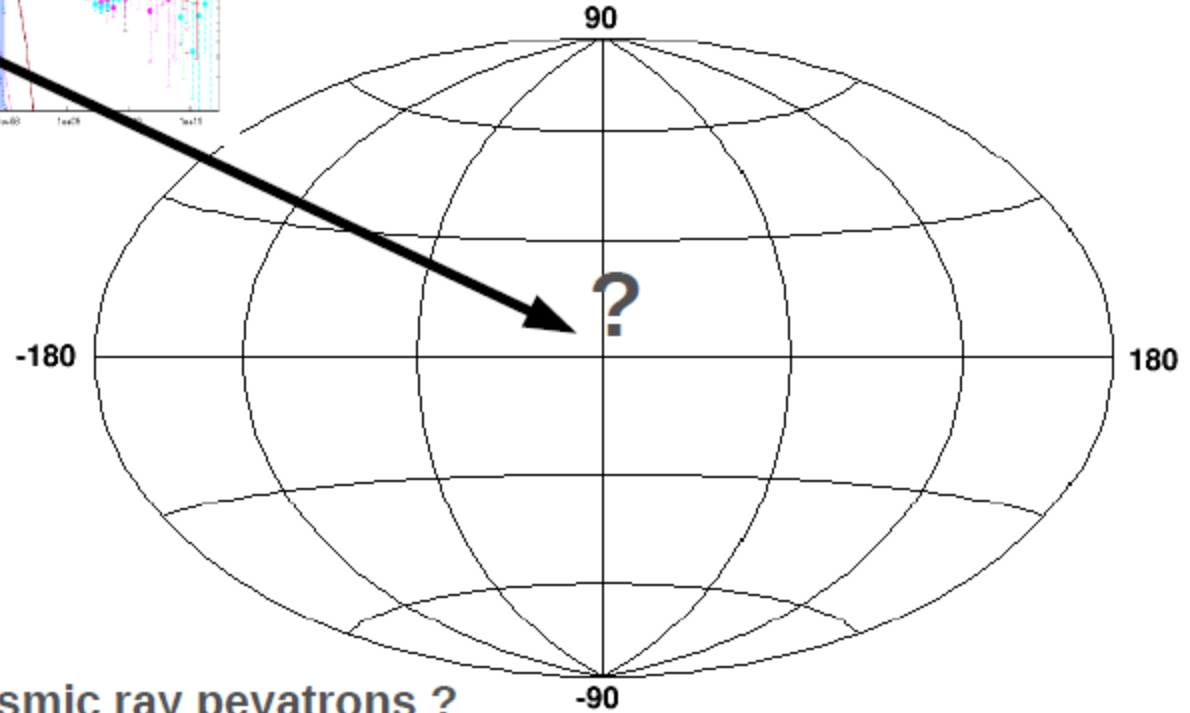
Kurchatov Institute

IPSM(Ulan-Ude)

Pevatron sky

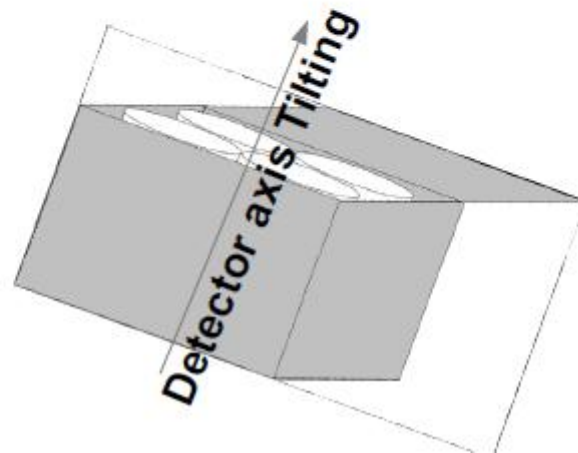
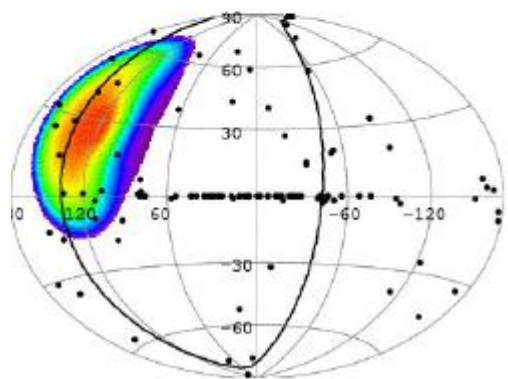
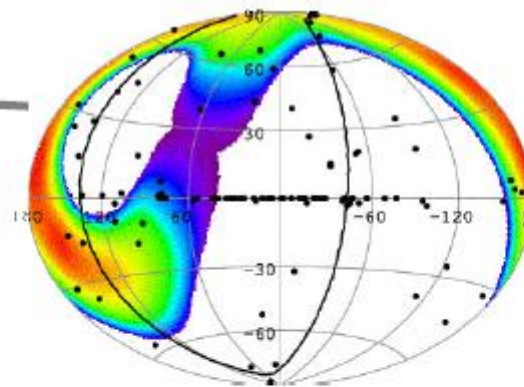
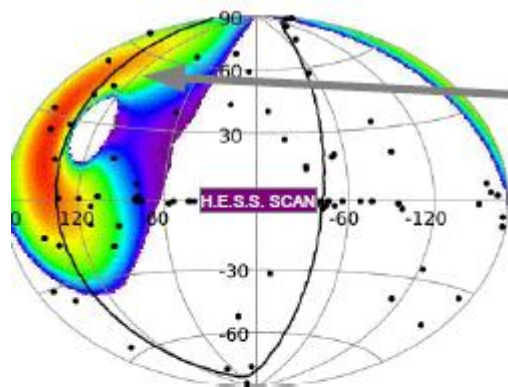


HE Gamma-Ray Sky ($S > 5\sigma$, $E > 100$ TeV), September 2009



Where are the cosmic ray pevatrons ?

Какую часть неба мы можем наблюдать



What we can see with 1 km² array (short list)

Name	RA degrees	Decl	Flux F at 1 TeV, 10 ⁻¹² cm ⁻² s ⁻¹ TeV ⁻¹ Γ	Flux F at 35 TeV, 10 ⁻¹⁷ cm ⁻² s ⁻¹ TeV ⁻¹ (from Milagro)	Time of observation per one year (x 0.5- weater factor)
Tycho SNR (J0025+641)	6.359	64.13	0.17 ±0.05 Γ=1.95 ±0.5		236h
Crab	83.6329	22.0145	32.6 ±9.0 Γ=2.6 ±0.3	162.6 ±9.4	110h,
SNR IC443 (MAGIC J0616+225)	94.1792	22.5300	0.58 ±0.12 Γ=3.1 ±0.30	28.8 ±9.5	112h,
Geminga MGRO C3 PSR	98.50	17.76		37.7 ±10.7	102h,
M82 (Starburst Galaxy)	148.7	69.7	0.25 ±0.12 Γ=2.5 ±0.6±0.2		325h,
Mkn 421 (BL, z=0.031 Variable)	166.114	38.2088	50-200 Γ=2.0-2.6		140h
SNR 106.6+2.7 (J2229.0+6114)	337.26	61.34	1.42 ±0.33 ±0.41 Γ=2.29 ±0.33 ±0.30	70.9 ±10.8	167h
Cas A (SNR, G111.7-2.1)[6]	350.853	58.8154	1.26 ±0.18 Γ=2.61 ±0.24±0.2		177h
CTA_1(SNR,PWN)	1.5	72.8	1.3 Γ=2.3		266 h

Methodical approaches for 3 stages

1. Shower front and LDF sampling technique .
Angular resolution – 0.1 deg,
 X_{\max} measurement for hadron rejection.
2. Using of mirrors net with cheap matrix of PMTs for imaging technique.
3. Using of large area muon detectors for hadron rejection.

Concept of HiSCORE approach

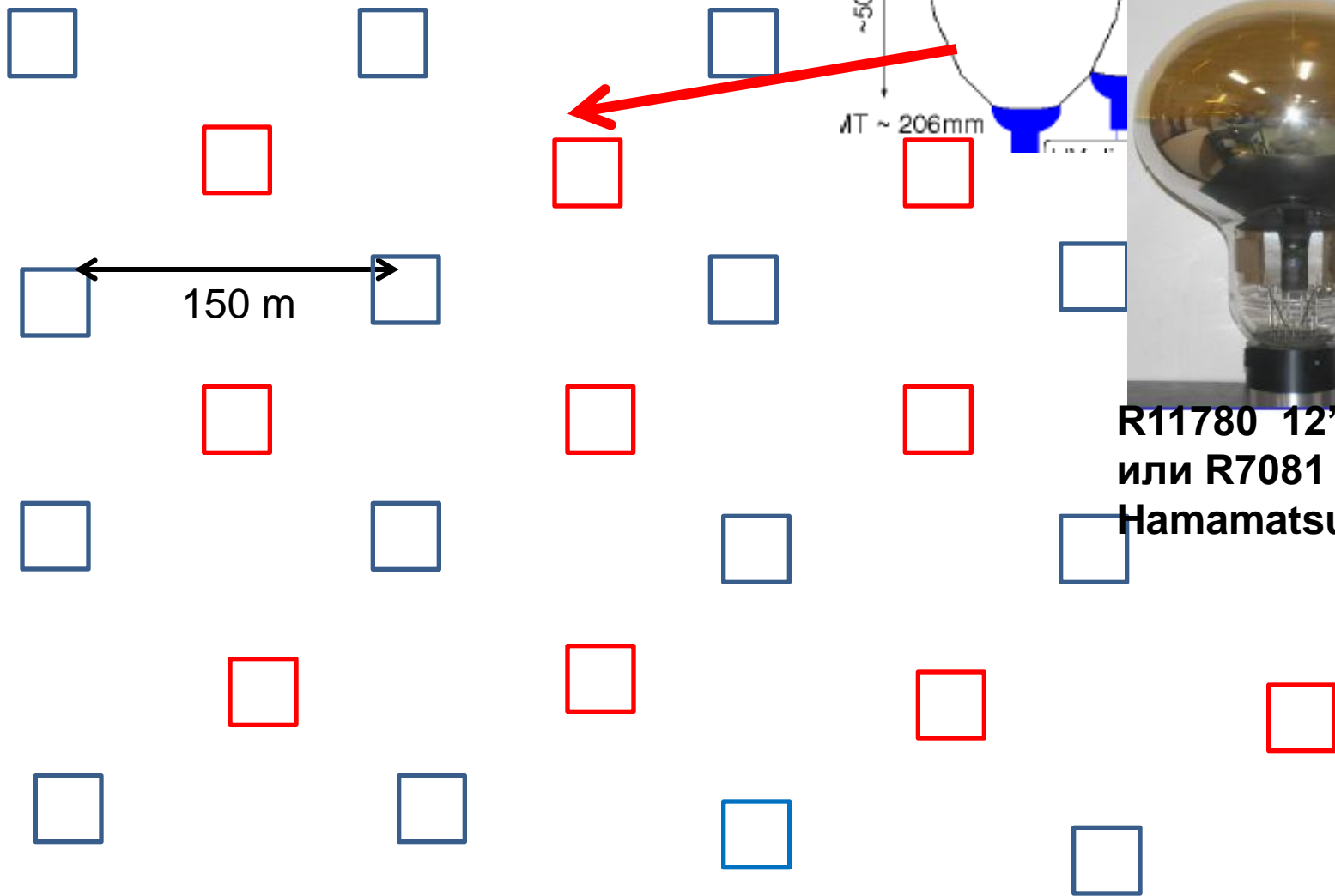


- Better than for Tunka angular resolution,- up to 0.1 degree
- much lower energy threshold – up to 30 TeV .
- Field of View (FOV) – 0.6 sr (± 30 deg)
- Low cost of each station – possibility to cover large area

**HiSCORE – Hundred* i Square-km
Cosmic Origin Explorer**

Tunka-HiSCORE – 1km²

2 stage



Total light-collecting area: 0.5 sqm

400mm
600 mm

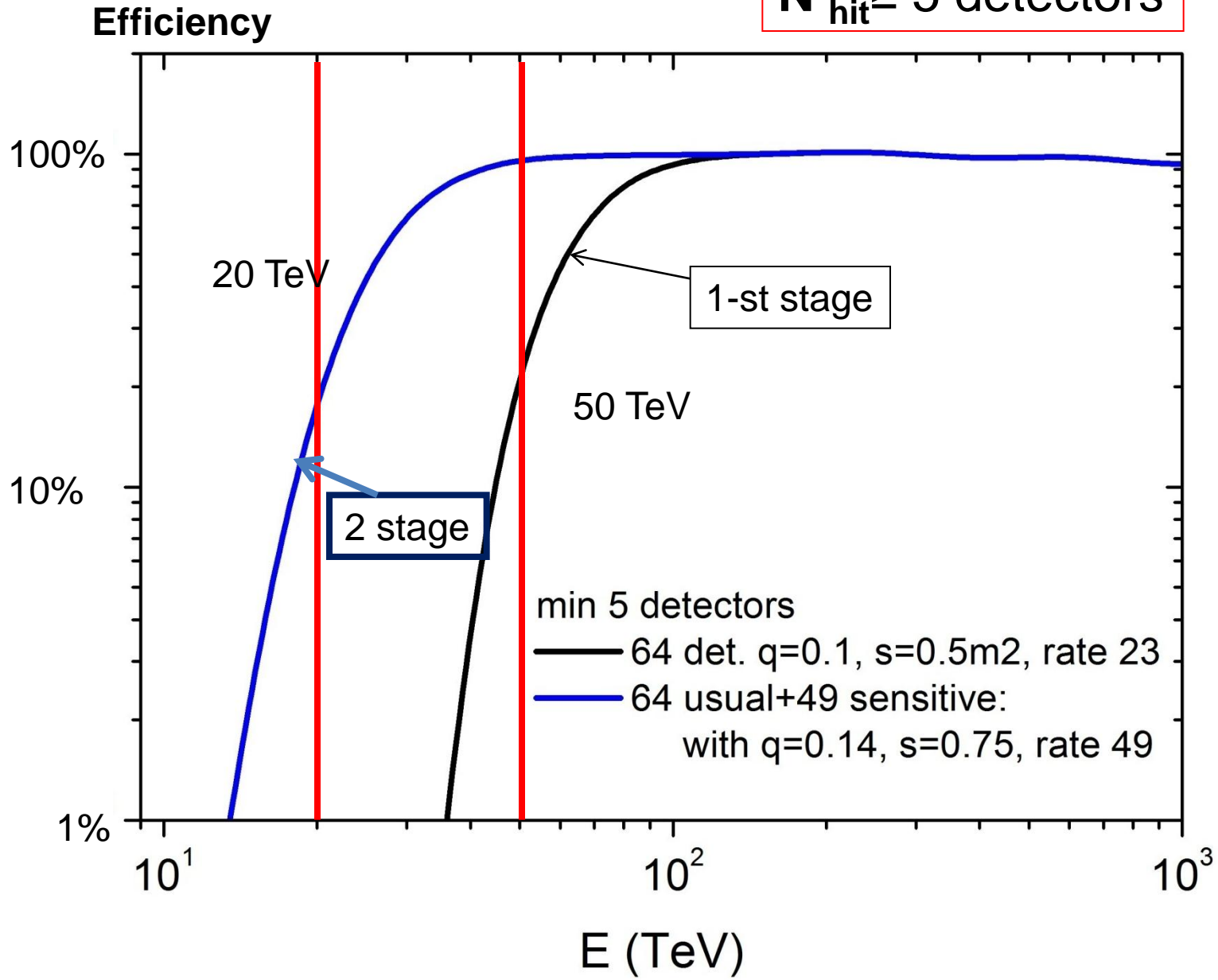
Winston cone

~500mm

∅T ~ 206mm

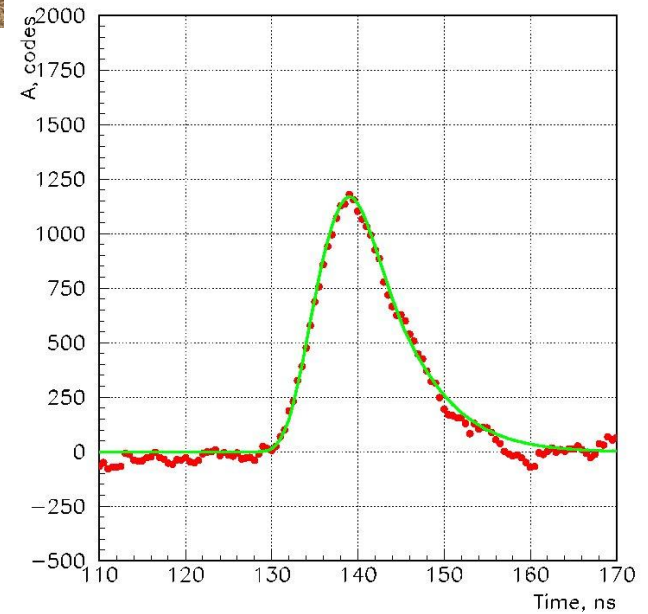
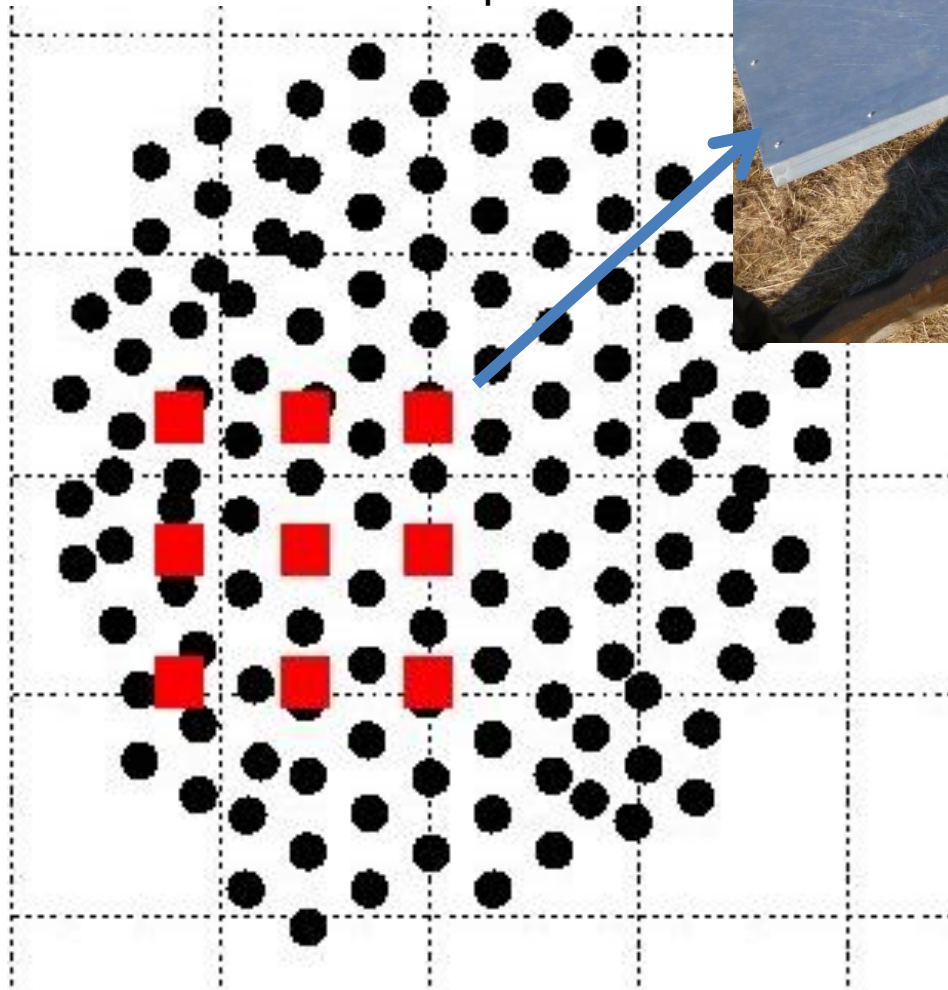
R11780 12"
или R7081 10"
Hamamatsu

$N_{hit} \geq 5$ detectors



9 оптических станций

36 ФЭУ R5912 (8")
Новые предусилители.
Новая система сбора



DRS-4 board (0.5 ns step)





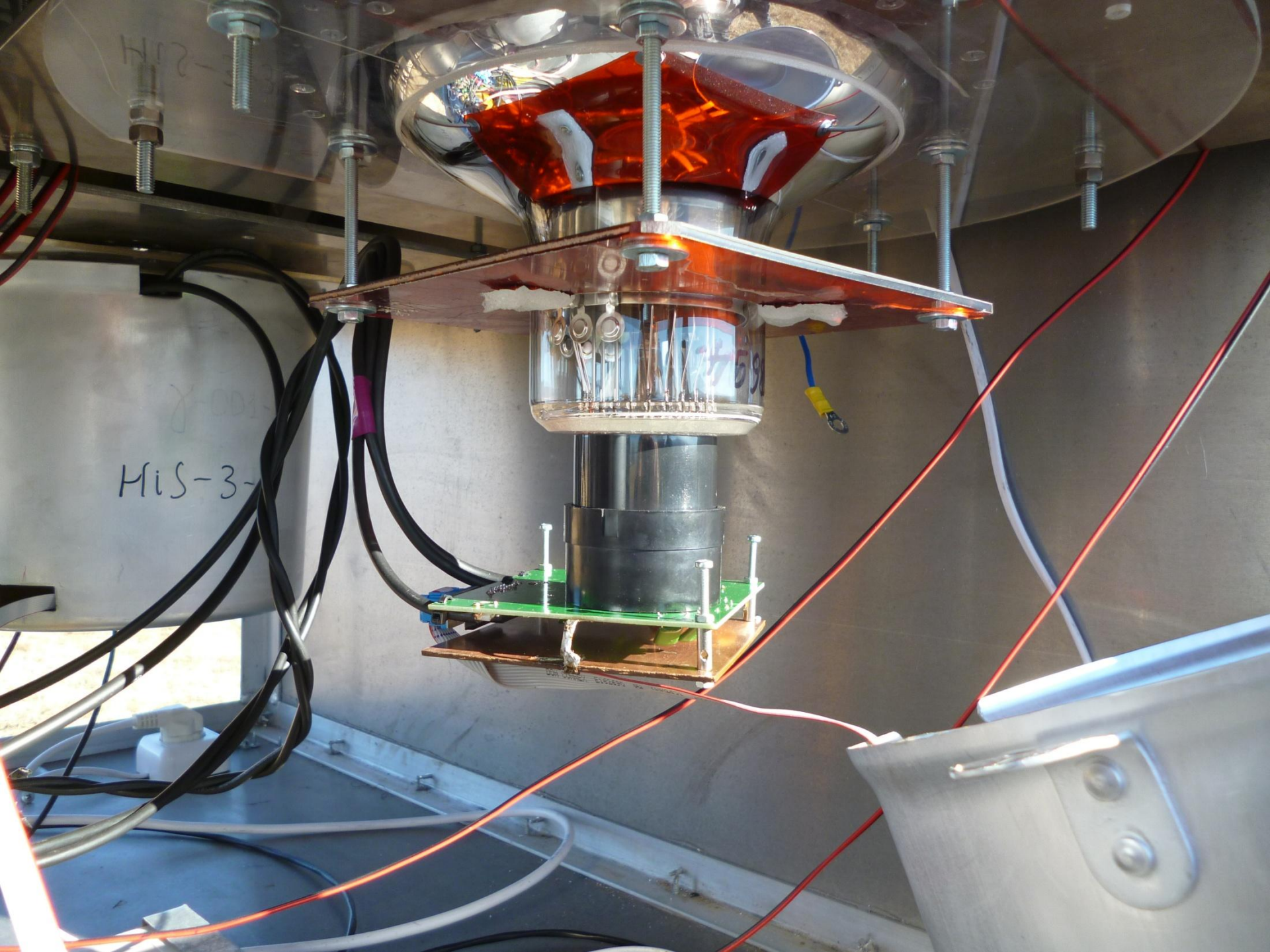
HiS-3-1

HiS-3-4

HiS-3-2

controller

HV -power supply



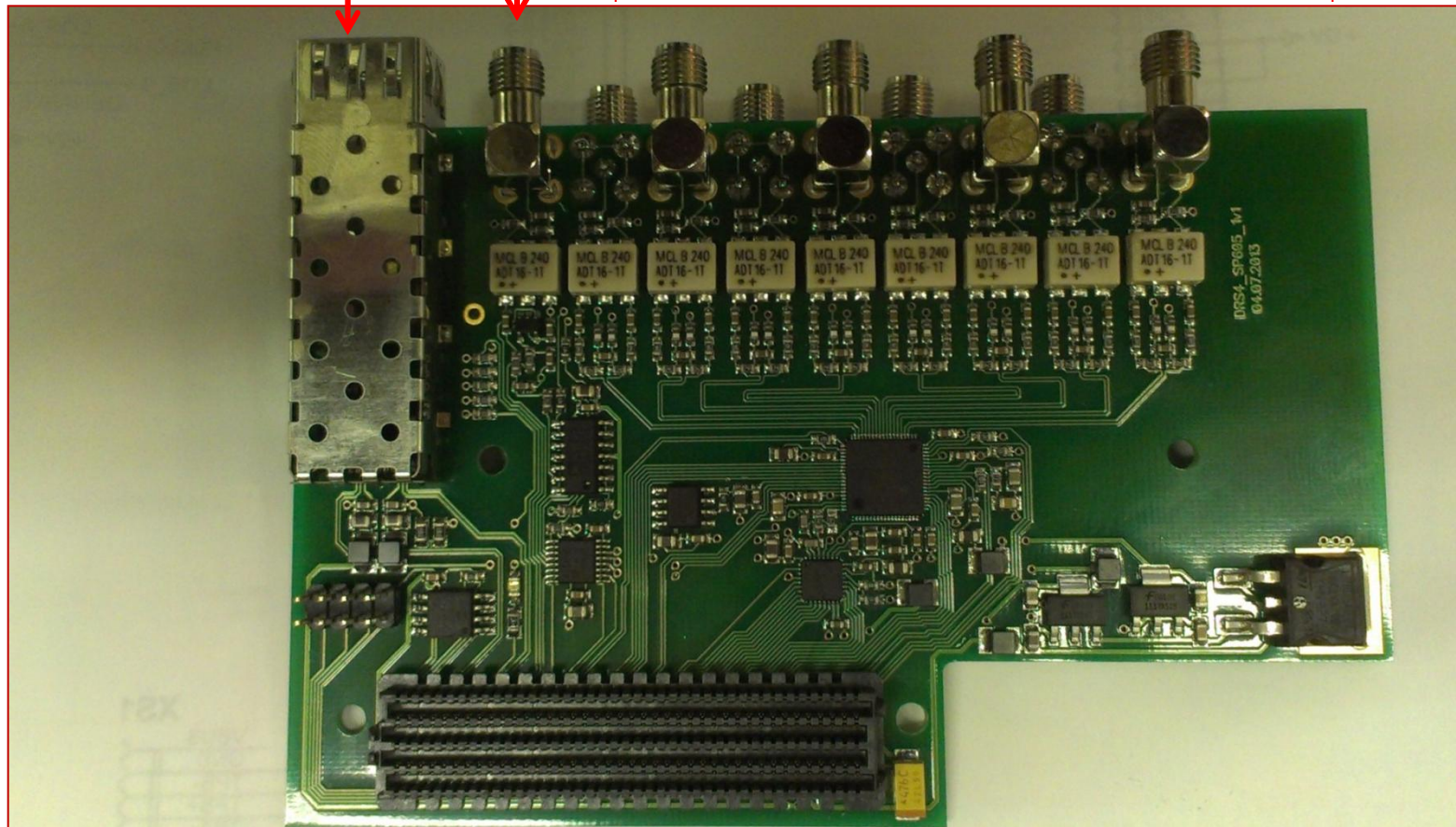
HIS-3-

H12-3

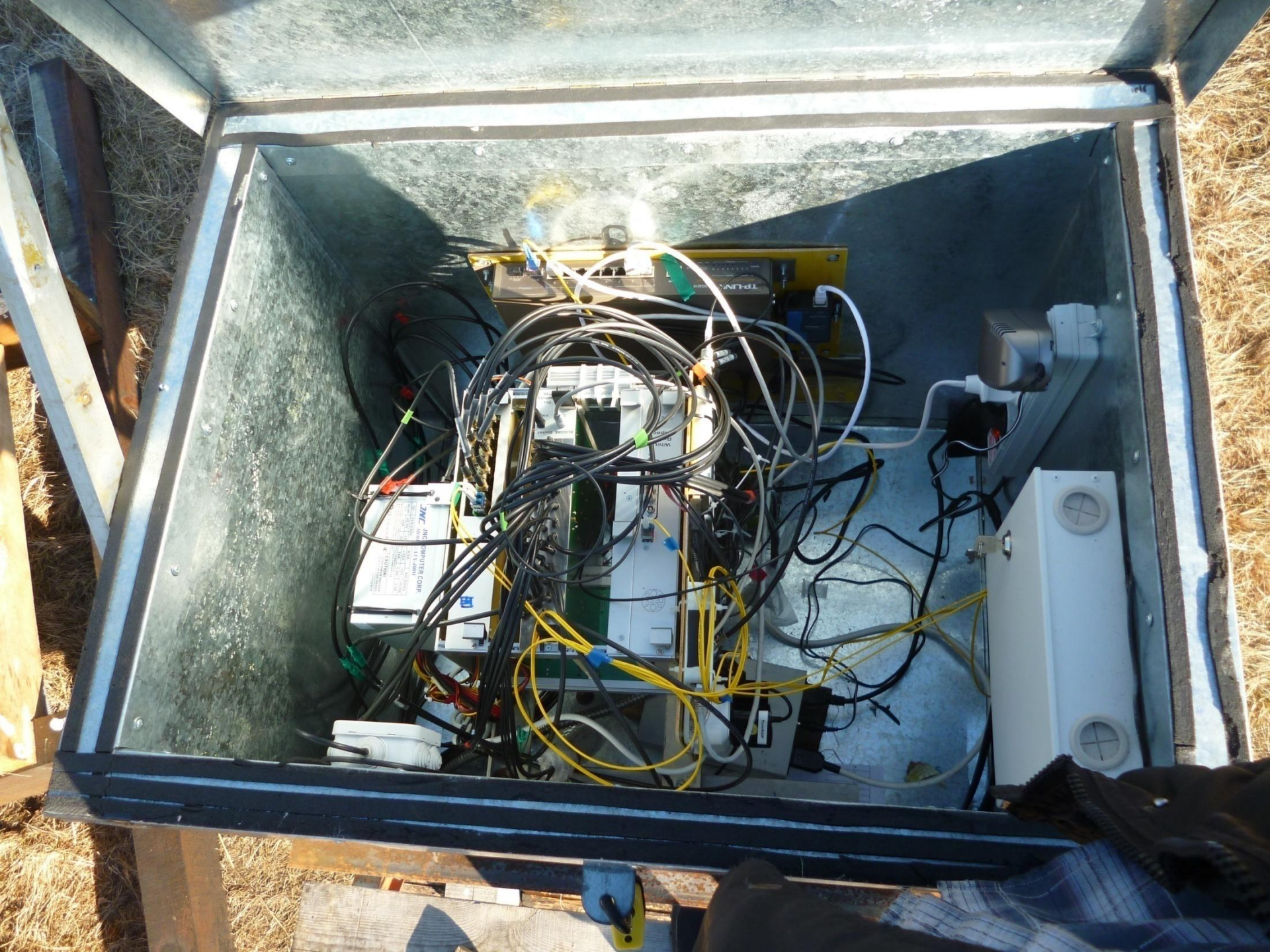
100 MHz
clock for
synchronization

Sum of 4 anods
signals

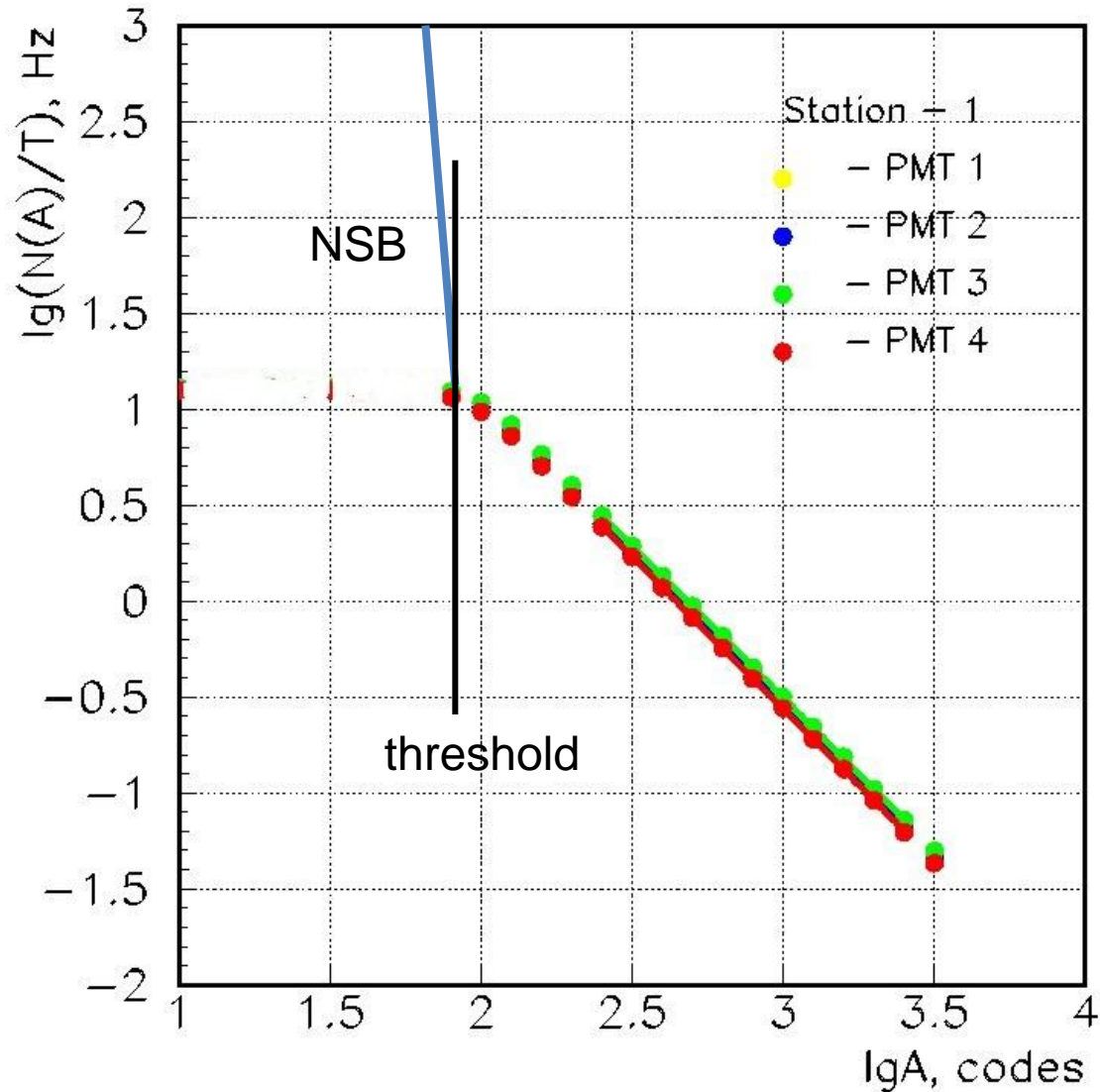
4 anods and 4 dinods signals



DRS4_SP605_M1
©4.07.2013



Amplitude spectrum of PMTs in station

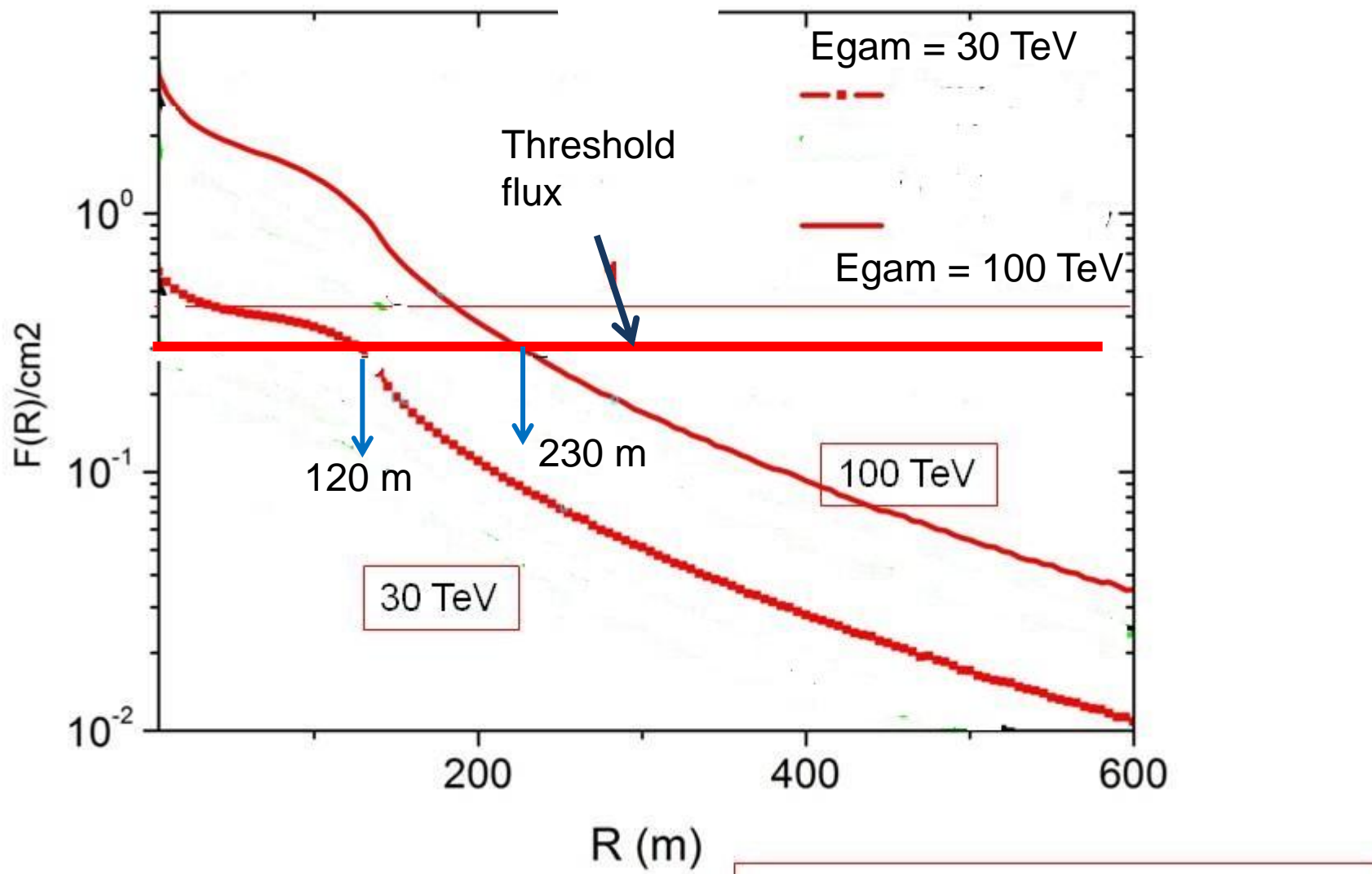


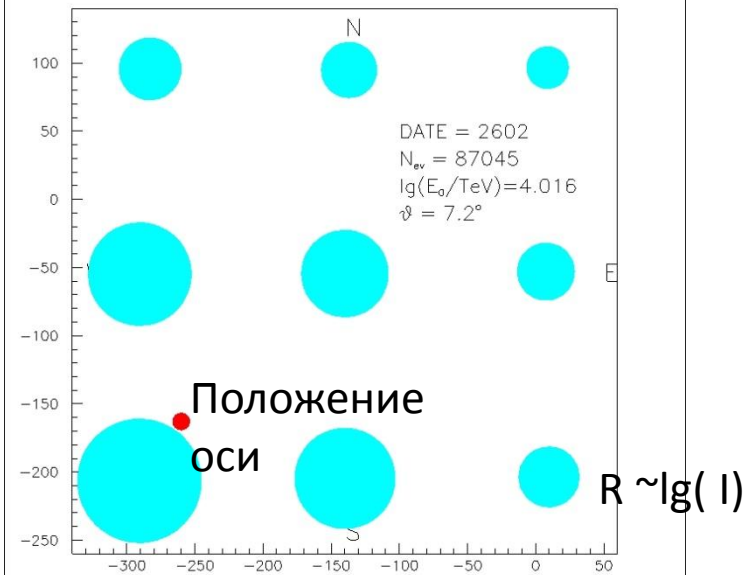
Counting rate = 12 -16 Hz



Threshold flux:
0.25 – 0.3 ph / cm²

LDF of Cherenkov light from EAS from gamma-rays



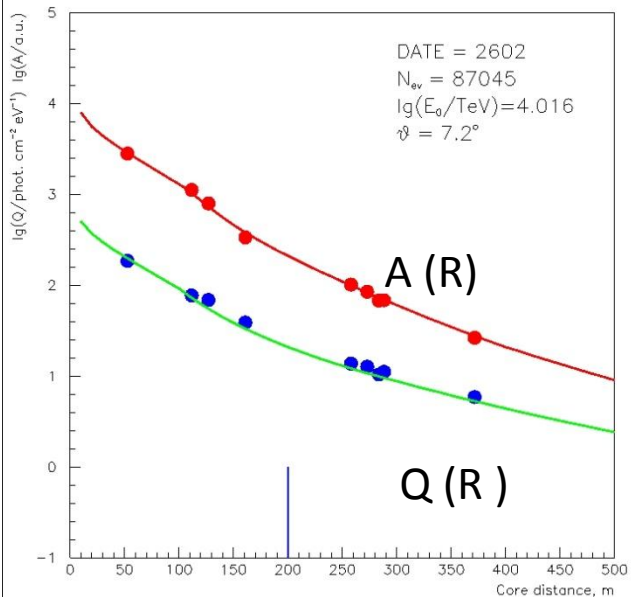
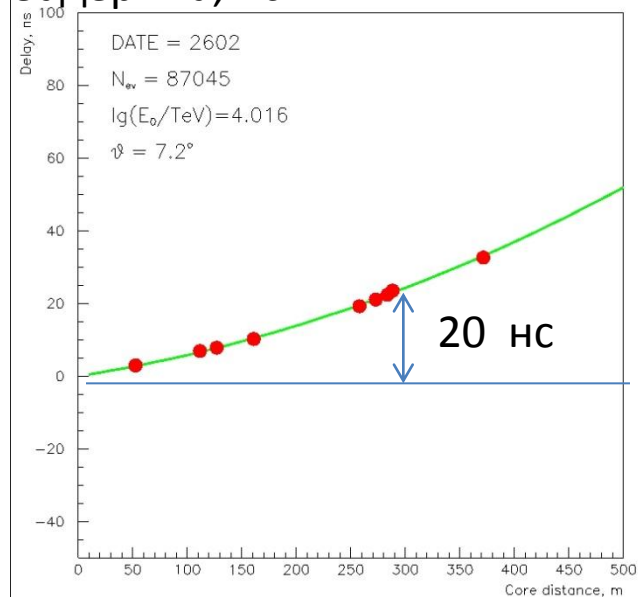


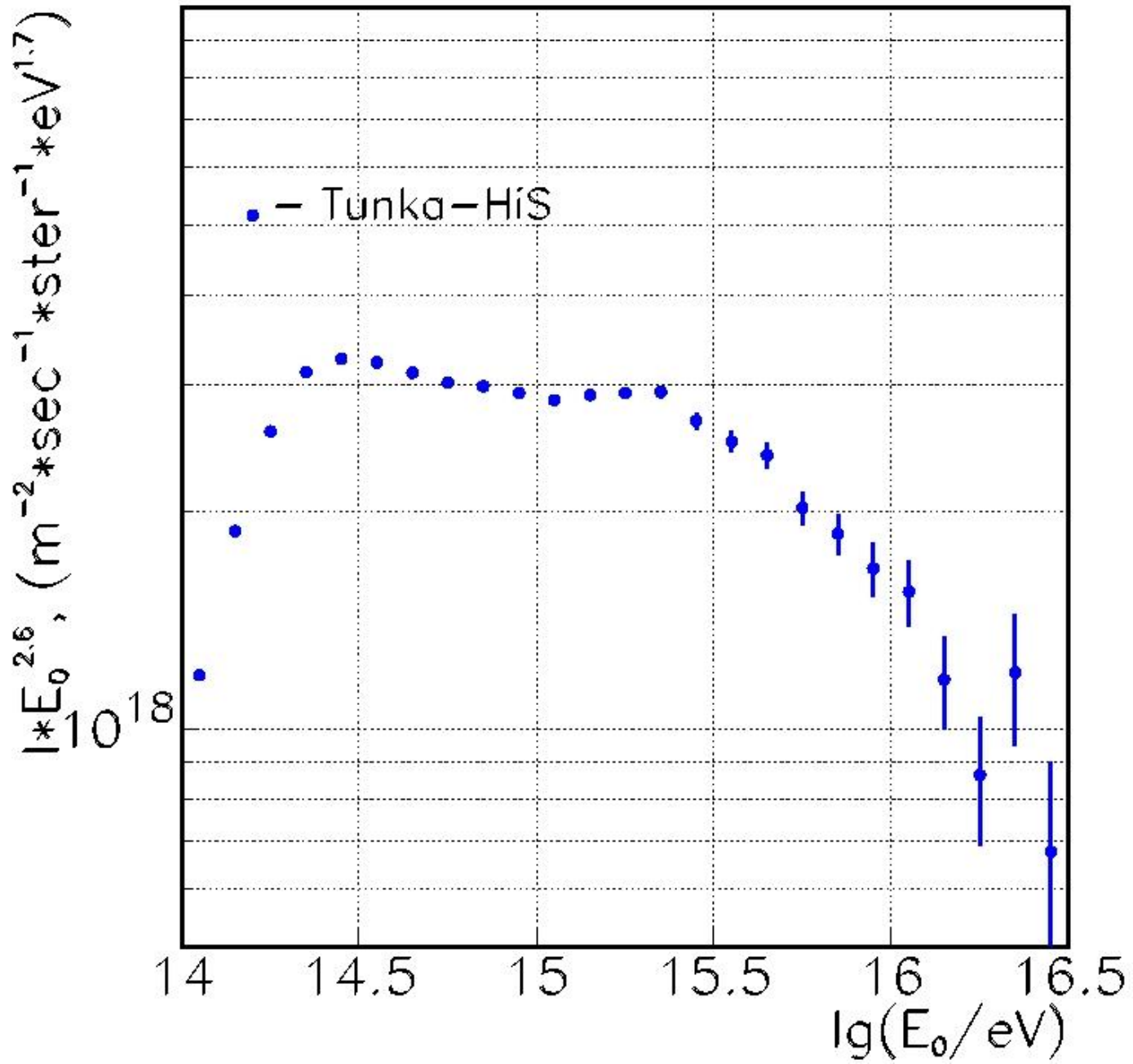
Пример события
зенитный угол – 7.2°
энергия - $1.0 \cdot 10^{16}$ эВ

$$E = c Q(200)^{-0.94}$$

Фронт ШАЛ

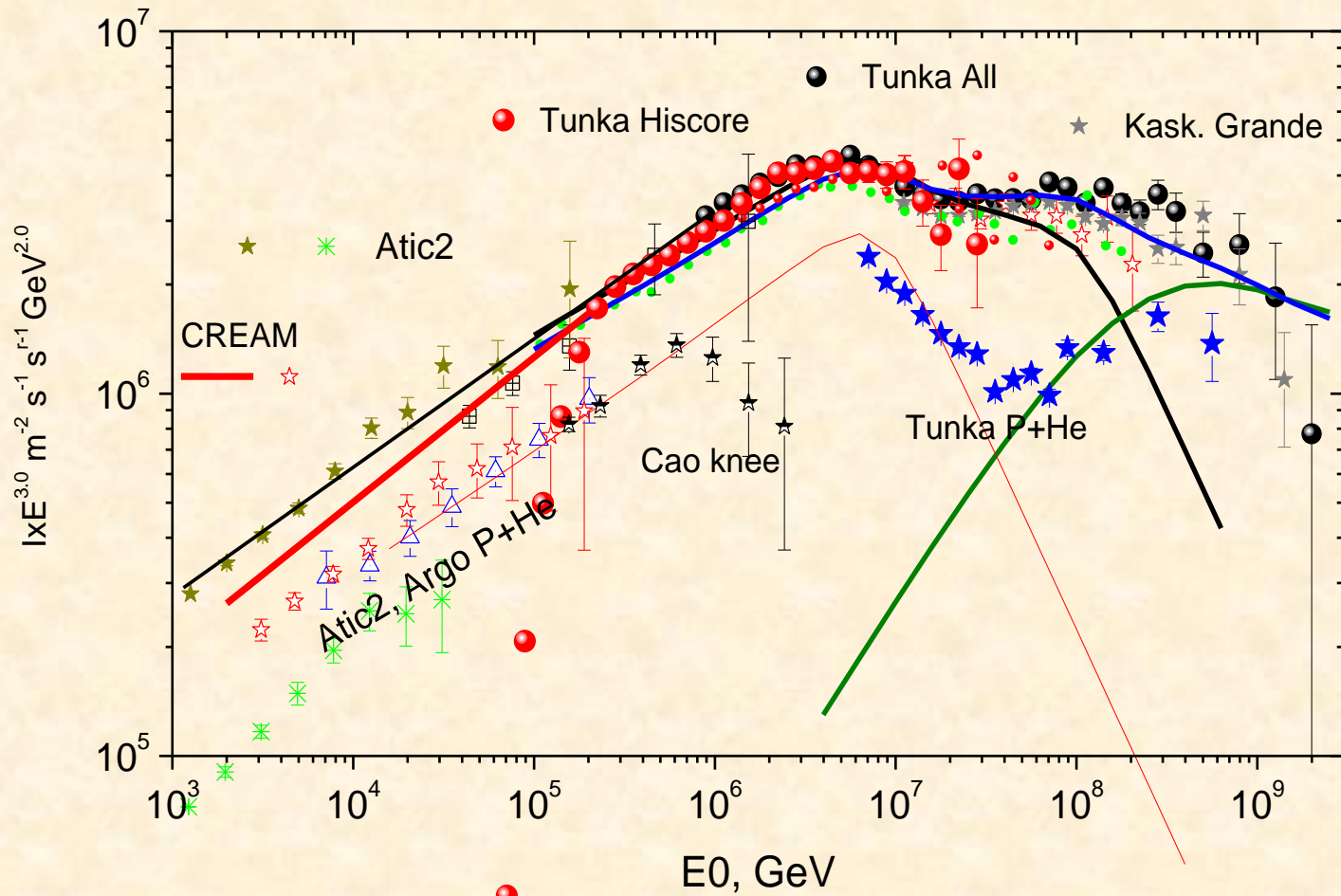
Задержка, нс



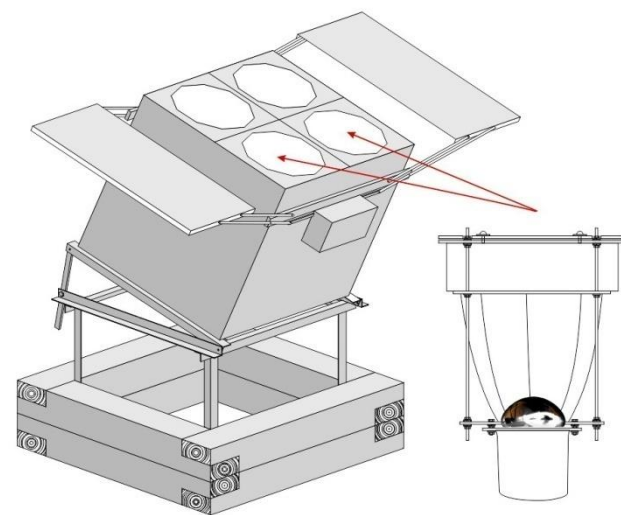
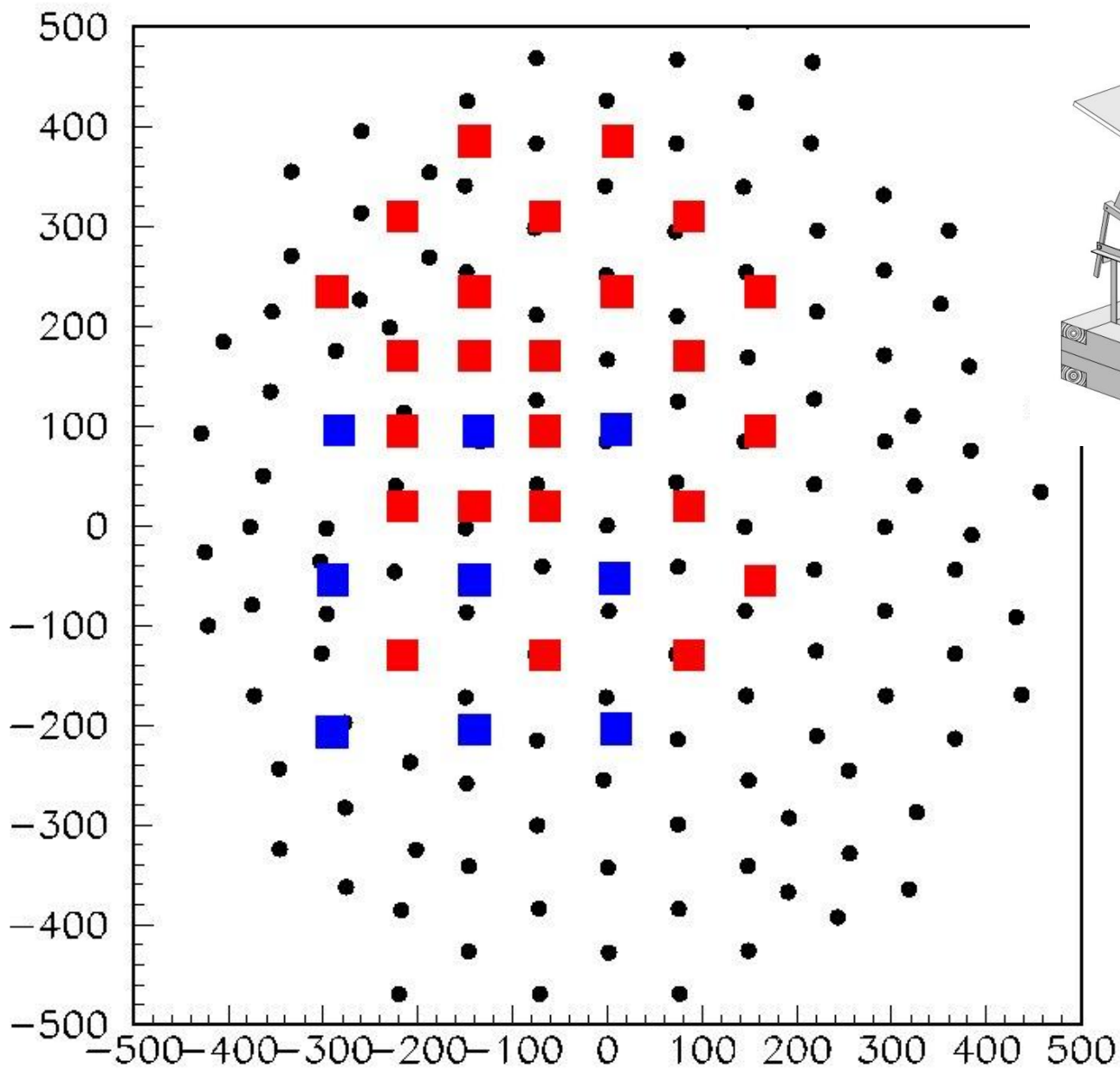


Доклад
Л.Г.Свешниковой

Спектр всех частиц

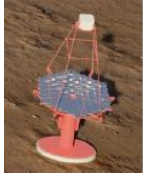


Установка 2014-2015 года – 33 станции



Все станции наклонены к Югу на 30 град

20-60 событий от Краба за 100 часов



Telescope parameters

$$D = 4.32\text{m} \quad F = 4.75$$

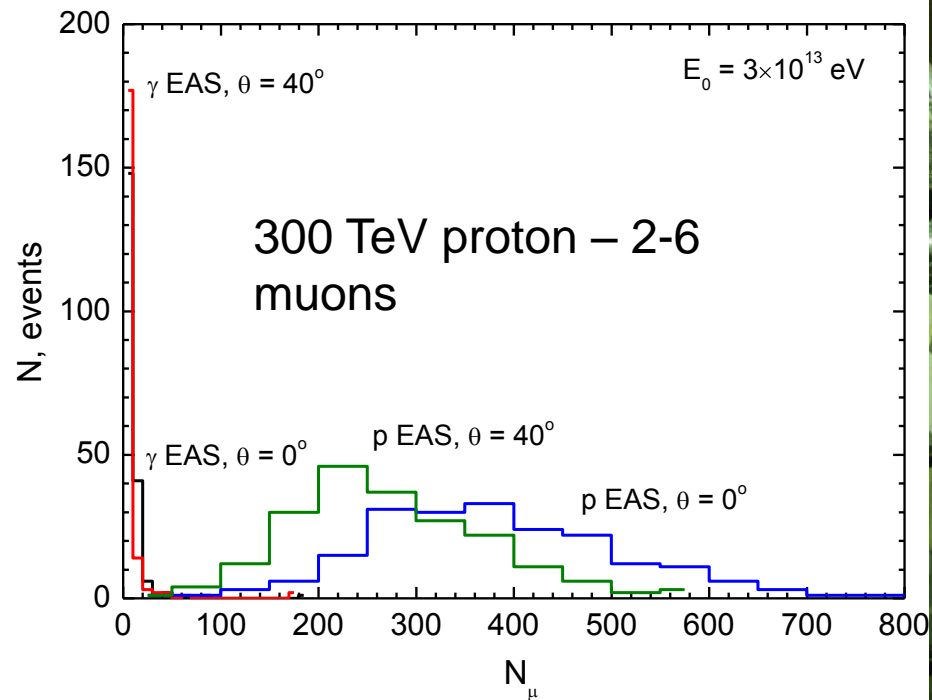
34 mirrors with 60 cm diameters

Camera : 400 PMTs (XP 1911) with 15 mm useful diameter of photocathode
Winston cone: 30 mm input size, 15 output size
1 single pixel = 0.36 deg
full angular size 8.3 deg

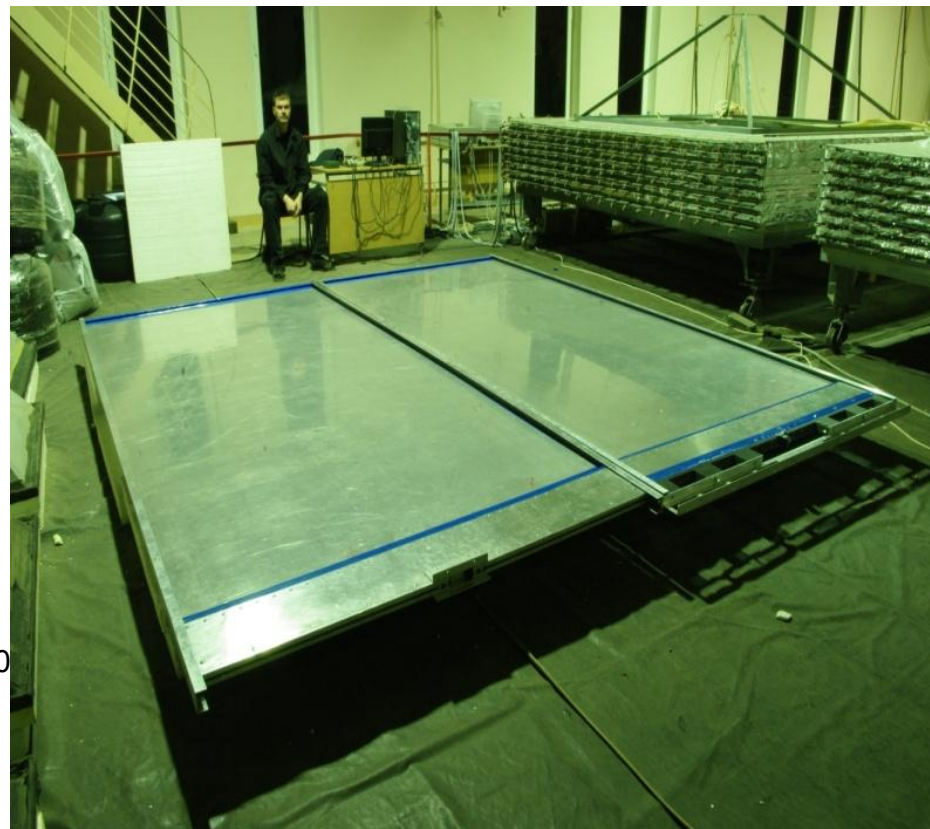
DAQ - MAROC3

First telescope in autumn 2015

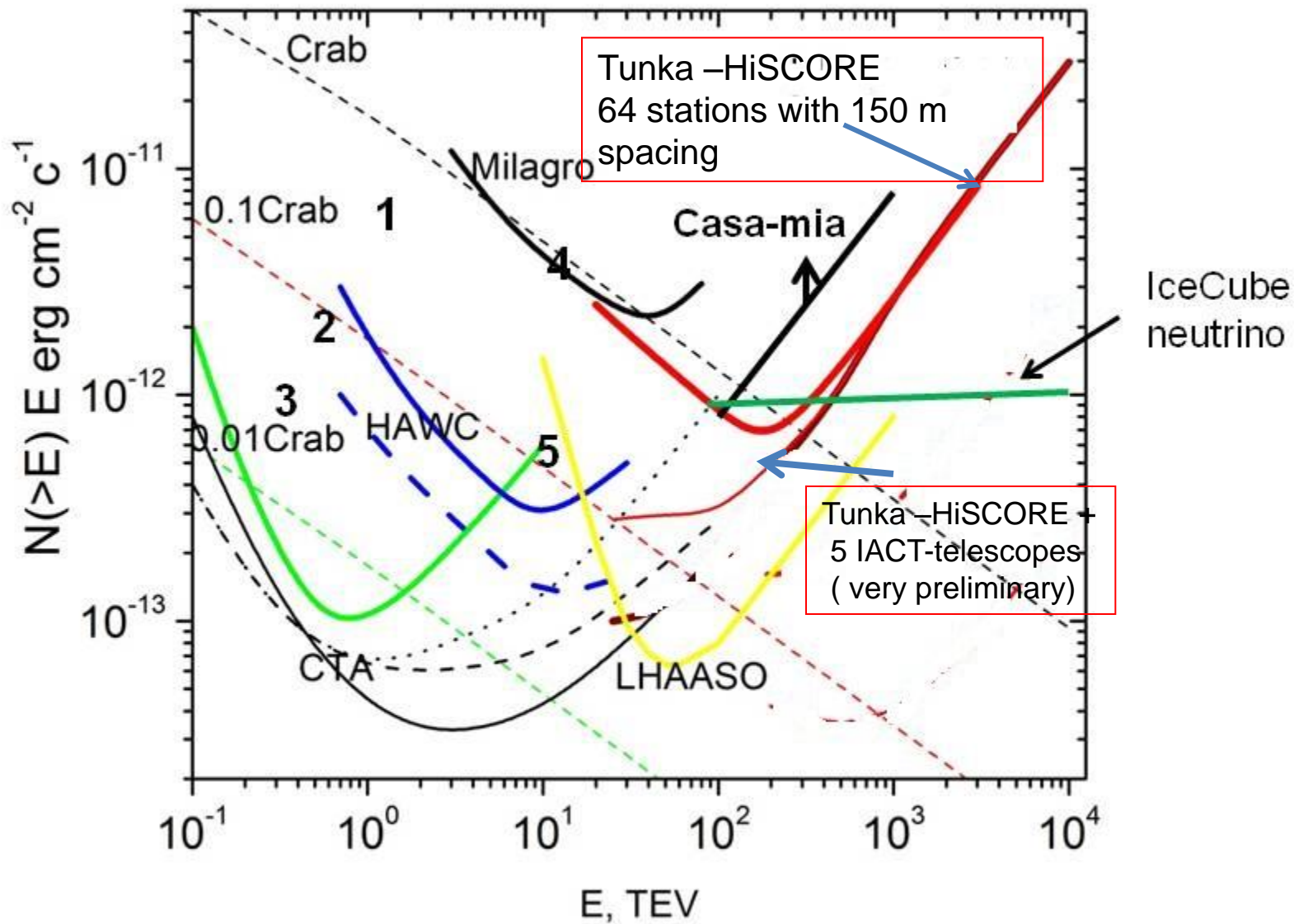
2000 m² muon detectors (0.2% of array area)



Rejection of hadron background
by 10 times at 300 TeV



Scintillation detectors developed in Mephi



Заключение

1. Tunka-133 :

Пять ближайших лет будет продолжен набор данных совместно сцинтилляционными станциями и радиоантеннами.

Далее будет проведена серьезная модернизация для перехода в другой интервал энергии.

2. Первые 9 станций HiSCORE успешно проработали первый зимний сезон. Восстановлен энергетический спектр от 200 ТэВ до 10 ПэВ. На установке 2014-15 года (33 станции) мы надеемся зарегистрировать сигнал от Краба.

3. Первый телескоп начнет работать 2015 году.



Спасибо за
внимание

